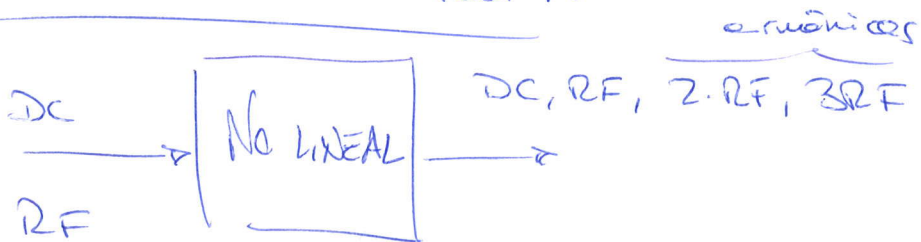


TEMA 3º DETECTORES Y MEZCLADORES

1.- INTRODUCCIÓN

- Esquema de un detector:

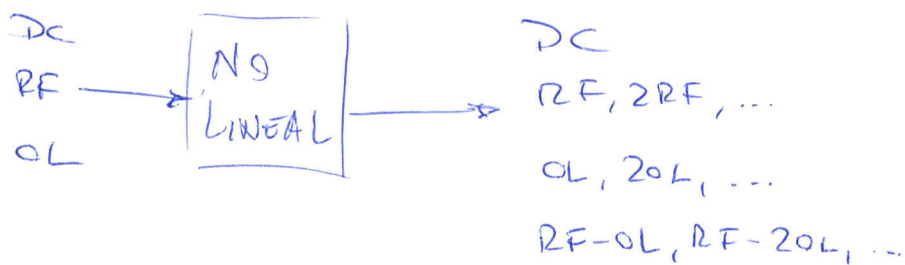


Del detector nos interesa la conversión $RF \rightarrow DC$

Para el estudio, necesitamos la RF de salida

(* 3.1 *)

- Esquema de un mezclador:

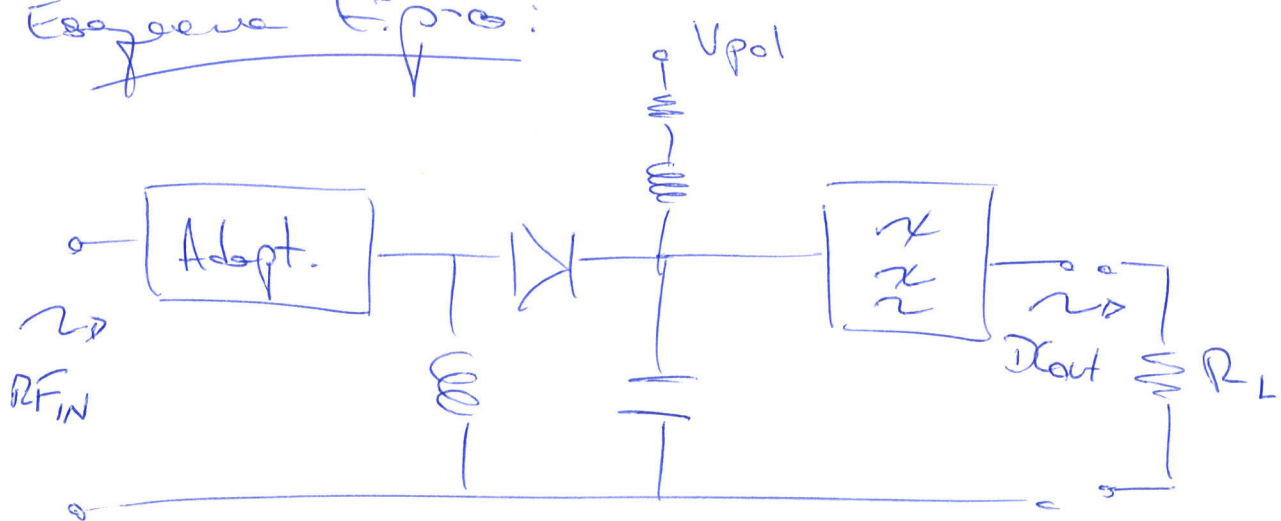


Elemento no lineal bies (def + mezcl): unir p-a

2.- DETECTORES DE MICROONDAS

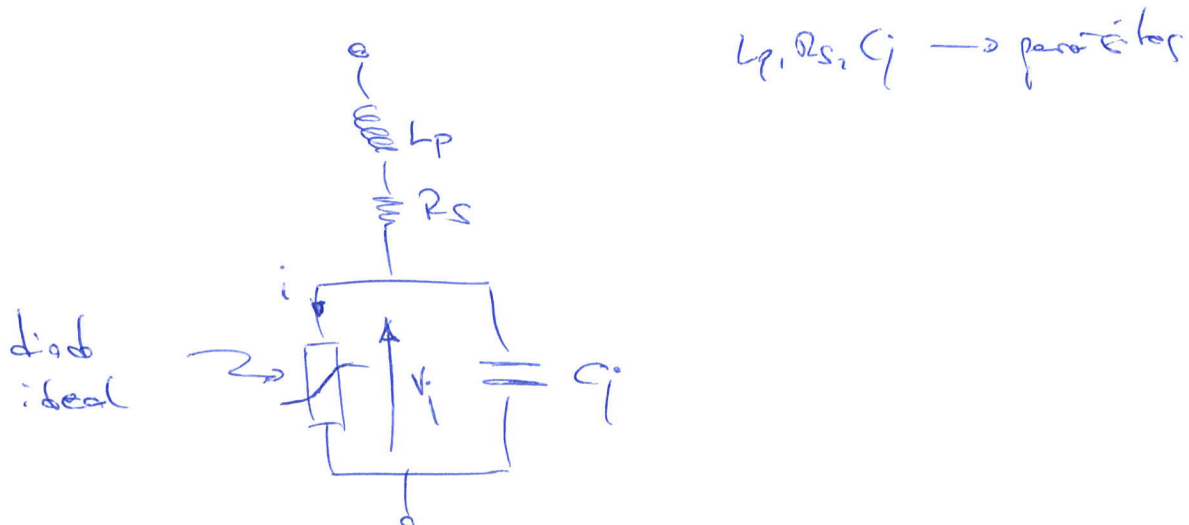
- idea fundamental: receptor continua o mixador de alta frecuencia
- aplicaciones: recibir RF
 - aumentarizar la potencia de RF

Estructura típica:

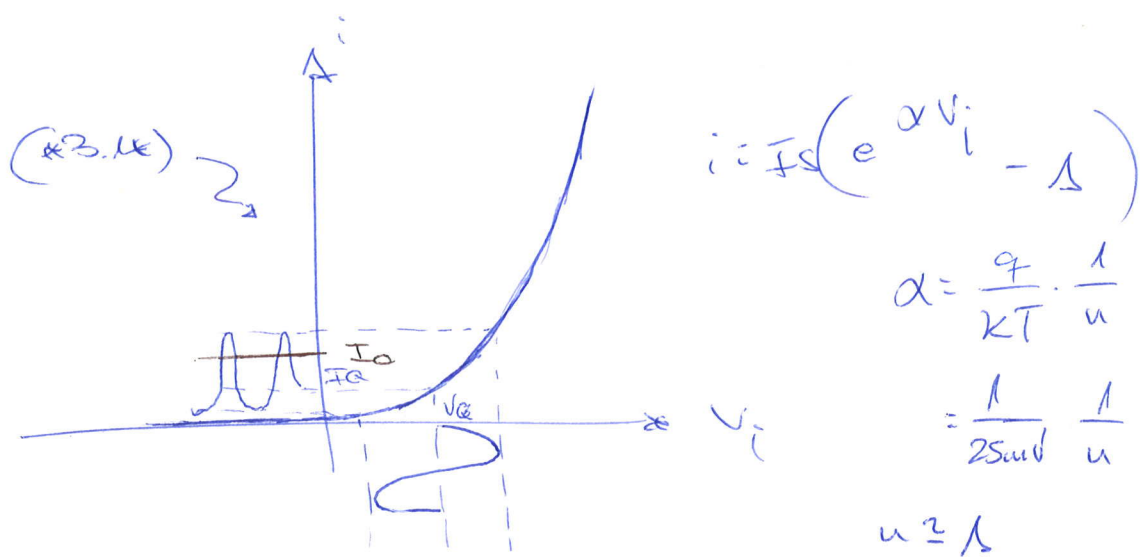


$I_{out} \rightarrow$ nivel de la señal RF_{IN}

circuito equivalente del diab: (* 3.4 *)



Teoremb sib le unz p-ideal:



Hay que asegurarse que V_i sea una continua + f' amplitud

$$V_i = V_Q + V_{RF} \cos \omega_F t$$

\Rightarrow elíctrica de ondulaciones superponer en tensión.

Cuando se conecta \rightarrow continua I_Q

Entonces V_Q, I_Q , se vale V_{RF} , cambia I_Q .

$$I_Q = I_Q (V_Q, V_{RF})$$

$$\Delta I_{DC} = I_D - I_Q$$

$$i = I_Q + I_1 \cos \omega_F t + I_2 \cos 2\omega_F t + \dots$$

Propiedad serial \Rightarrow paréntesis:

$$i(v_i) = i(v_a) + \frac{di}{dv_i} \left|_{v_a} \right. (v_i - v_a) + \frac{1}{2} \frac{d^2 i}{dv_i^2} \left|_{v_a} \right. (v_i - v_a)^2$$

$$i(v_a) = I_s \left(e^{\alpha v_a} - 1 \right) = I_Q$$

$$\frac{di}{dv_i} \left|_{v_a} \right. = \alpha I_s e^{\alpha v_a} = \alpha (I_Q + I_s)$$

$$\frac{d^2 i}{dv_i^2} \left|_{v_a} \right. = \alpha^2 I_s e^{\alpha v_a} = \alpha^2 (I_Q + I_s)$$

$$v_i - v_a = V_{RF} \cos \omega_{RF} t$$

$$\Rightarrow i(t) = I_Q + \frac{\alpha^2}{4} (I_Q + I_s) V_{RF}^2 + \alpha (I_Q + I_s) V_n \cos \omega_{RF} t + \frac{\alpha^2 (I_Q + I_s) V_{RF}^2 \cos 2\omega_{RF} t}{4}$$

$$\boxed{\Delta_{IPC} = I_0 - I_Q = \frac{\alpha^2}{4} (I_Q + I_s) V_{RF}^2}$$

Variación de la corriente continua con la potencia (V_{RF}^2) \rightarrow defectos de ley cuadrática

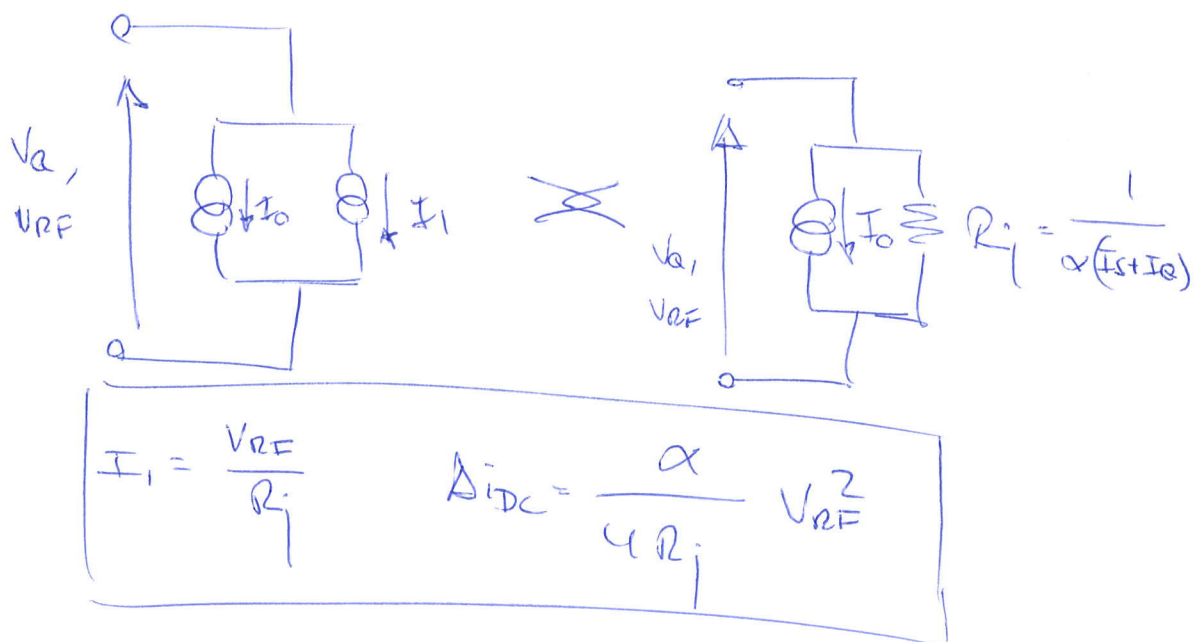
$$I_1 = \alpha(I_a + I_S) V_{RF}$$

resistencia

$$R_j(V_a) = \frac{1}{\alpha(I_a + I_S)}$$

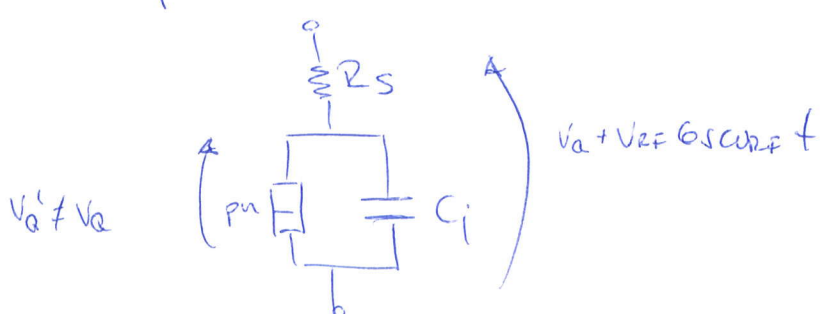
pendiente de la curva i/v en el punto de polarización.

Filtrando los $2\omega_{RF}t$, queda sólo I_a e I_S :



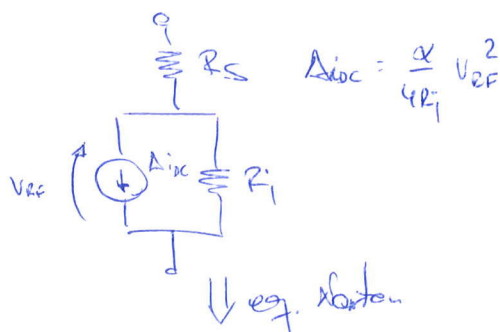
Considerando resistores e inductores:

Componentes intrínsecos:



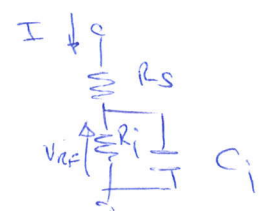
Lo descomponemos en 2 para el estudio:

Circuito de DC



$$\Delta_{IN} \left(\text{V}_o \right) = \frac{1}{R_s + R_i} \quad A_{IN} = \frac{\alpha}{4R_i} \frac{R_i}{R_s + R_i} V_{RF}^2$$

Circuito de RF



$$P_{RF} = P_{RS} + P_{RI} \rightarrow P_{RI} = \frac{1}{2} \frac{|V_{RF}|^2}{R_i}$$

$$P_{RS} = \frac{1}{2} |I|^2 R_s$$

$$I = V_{RF} \left(\frac{1}{R_i} + j\omega C_i \right)$$

$$P_{RF} = \frac{1}{2} \frac{|V_{RF}|^2}{R_i} \left(\frac{1}{R_i} \left(1 + \frac{R_s}{R_i} \right) + (\omega C_i)^2 R_s \right)$$

• Sensibilidad de corriente en circuito:

$$\beta_i = \frac{|\Delta_{IN}|}{P_{RF}} = \frac{\alpha/2}{\left(1 + \frac{R_s}{R_i} \right) \left(1 + \frac{R_s}{R_i} + (\omega C_i)^2 R_s R_i \right)} \quad \left(|\Delta_{IN}| = \beta_i P_{RF} \right)$$

• Sensibilidad de tensión en circuito abierto:

$$\beta_v = \frac{|\Delta_{VDC}|}{P_{RF}} = \left(R_s + R_i \right) \beta_i = \frac{\alpha/2 R_i}{1 + \frac{R_s}{R_i} + (\omega C_i)^2 R_s R_i} \quad \left(|\Delta_{VDC}| = |\Delta_{IN}| (R_s + R_i) \right)$$

sensibilidad en función de R_L

$$|\Delta V_{OC}| = |\Delta i_{\omega}| \left(R_L / (R_S + R_i) \right)$$

$$\boxed{\beta_v = \frac{|\Delta V_{OC}|}{P_{RF}} = \frac{|\Delta i_{\omega}|}{P_{RF}} \left(R_L / (R_S + R_i) \right) = \frac{\alpha/2 R_i R_L}{(R_S + R_i + R_L) \left(1 + \frac{R_S}{R_i} + \omega^2 C_i^2 R_S R_i \right)}}$$

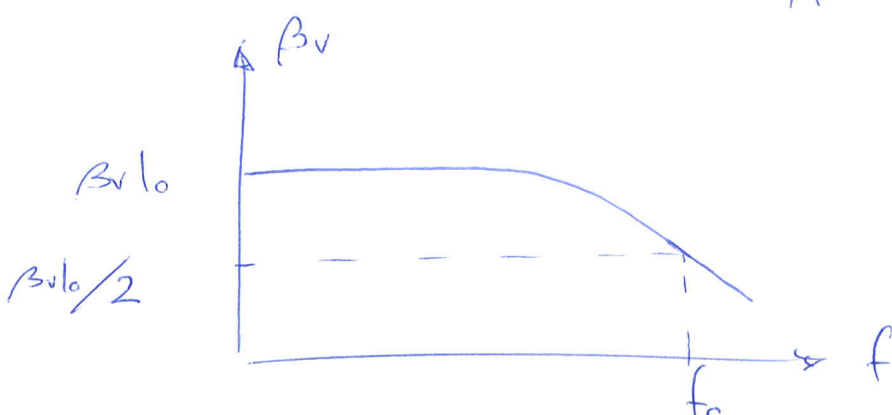
Para detectores, se suele polarizar en la zona de poca pendiente (próxima al origen), y entonces $R_S \ll R_i$. Entonces, en detectores suele escribirse:

$$\boxed{\beta_v = \frac{\alpha/2 R_i R_L}{(R_i + R_L) \left(1 + \omega^2 C_i^2 R_S R_i \right)} = \frac{\alpha/2 R_i}{\left(1 + \frac{R_i}{R_L} \right) \left(1 + \omega^2 C_i^2 R_S R_i \right)}}$$

Y como se ve, la sensibilidad en todo caso depende de la frecuencia en este caso, de primer orden.

$$\beta_v(\omega=0) = \beta_{v0} = \frac{\alpha/2 R_i}{1 + R_i/R_L}$$

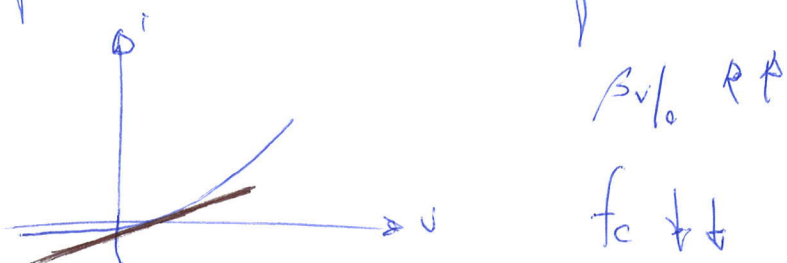
frecuencia de corte ($\beta_d \beta$): $f_c = \frac{1}{2\pi C_i \sqrt{R_S R_i}}$



Con R_L modificamos β_v . La polarización del diodo determina

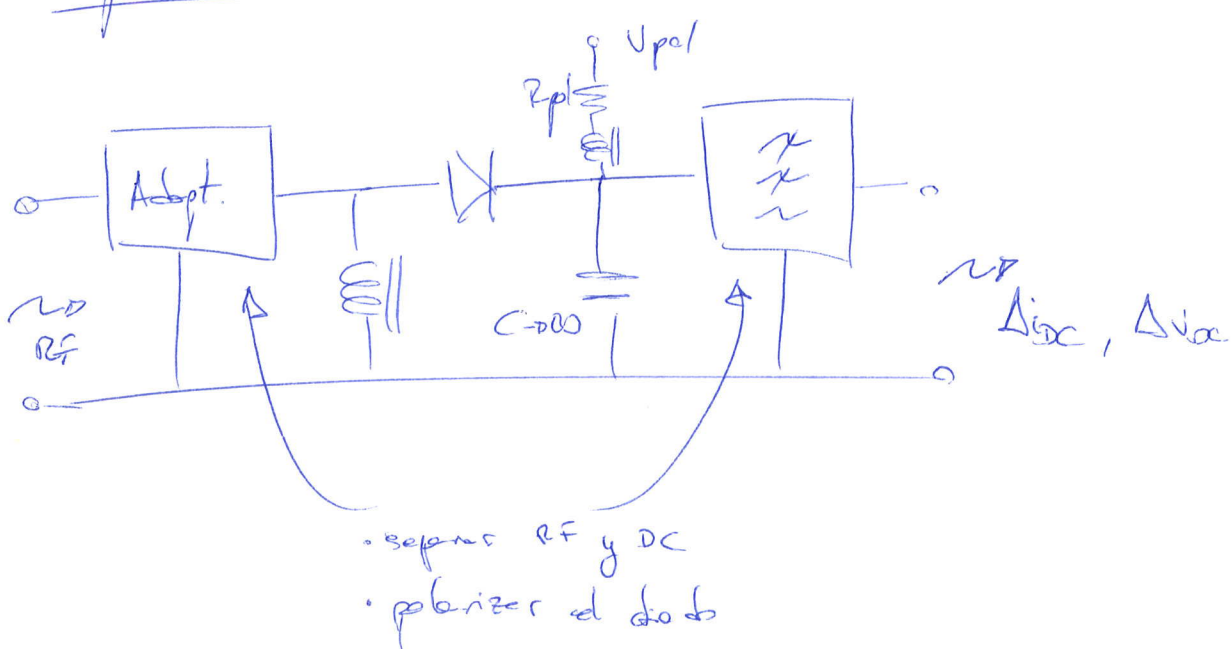
$$R_i = \frac{1}{\alpha(I_S + I_Q)}$$

Si polarizamos cerca del origen: $I_{Q0} \rightarrow R_i \downarrow$

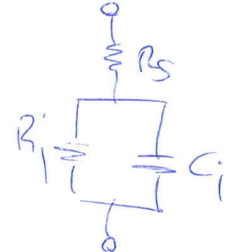
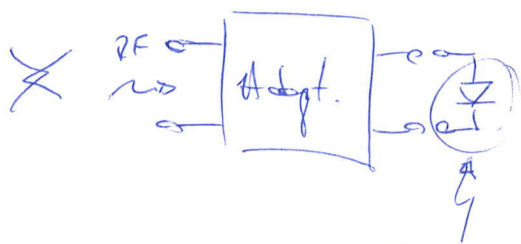
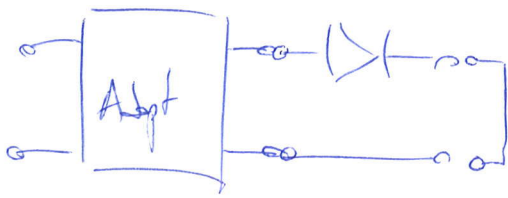


\Rightarrow Proportionalidad entre sensibilidad en baja frecuencia
y ancho de banda

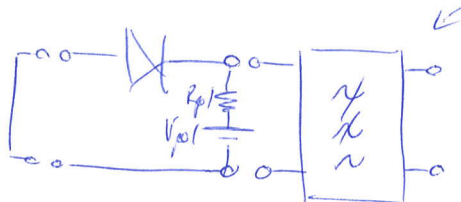
Diagrama de un detector:



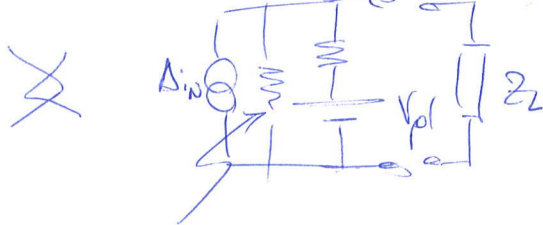
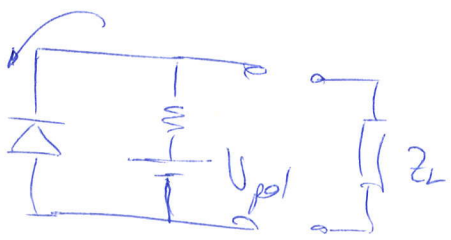
- RF:



- DC: (continua y frecuencias bajas)

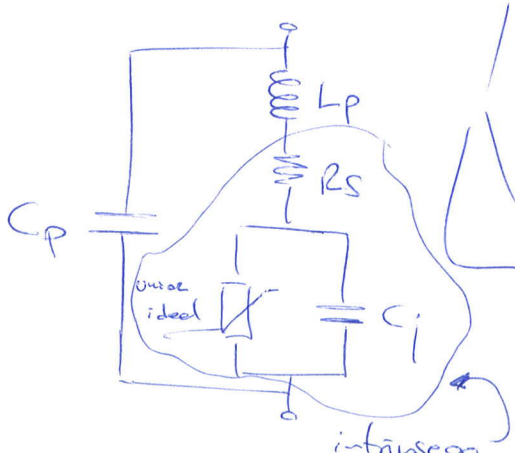


extraer solo la continua, filtrando desde el 1º análogo.



$$R_L + R_S \quad \Delta \omega C (V_{pol})^2$$

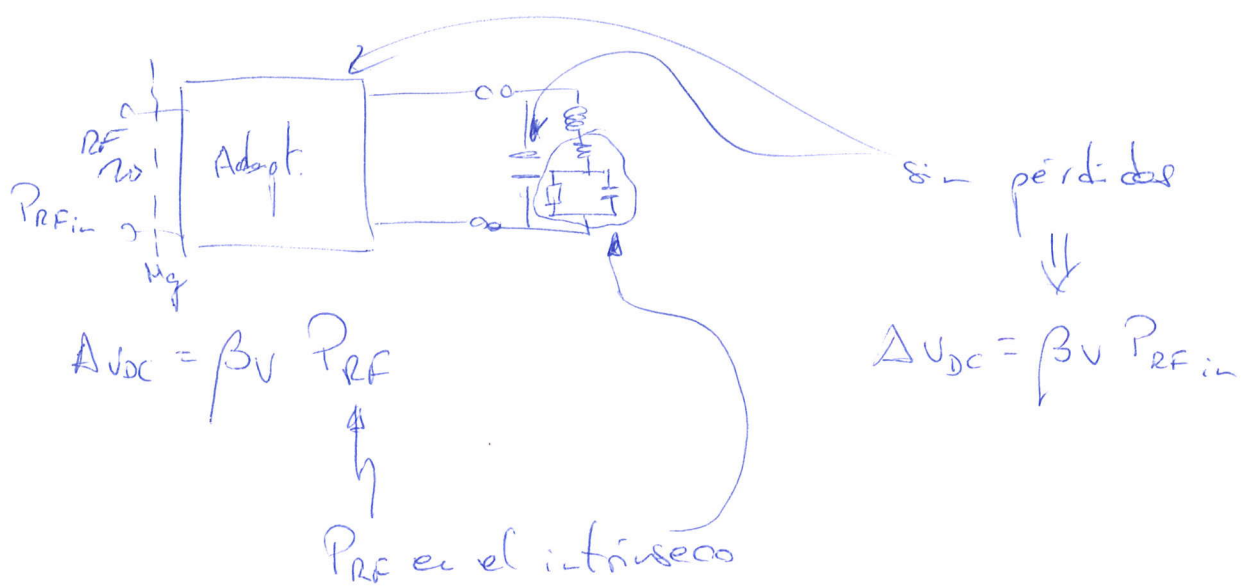
Un ideal excepto real tiene un modelo más complejo:



$|C_p|^2 = \text{capacitancia RF}$

$|L_p|^2 = \text{inductancia RF}$

β



Queremos la potencia disponible del generador

$$\Rightarrow P_{RFin} = Hg P_{dg}$$

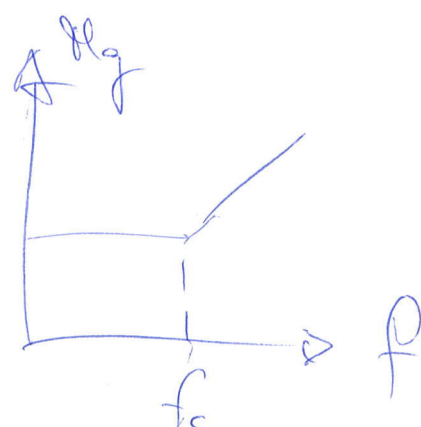
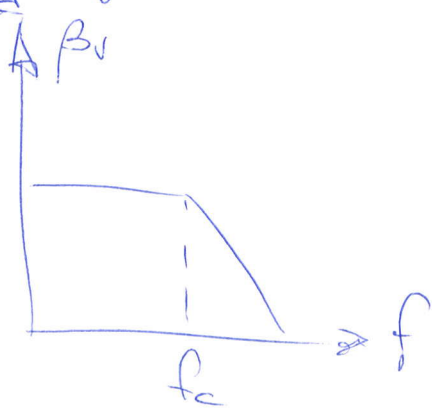
$$\boxed{\Delta V_{DC} = \beta_V Hg P_{dg}}$$

β_V : sensibilidad en tensión efectiva

Se pierde sensibilidad al subir la frecuencia, por lo que para aumentar el ancho de banda

se puede jugar con Hg , pudiendo conseguir una sensibilidad constante.

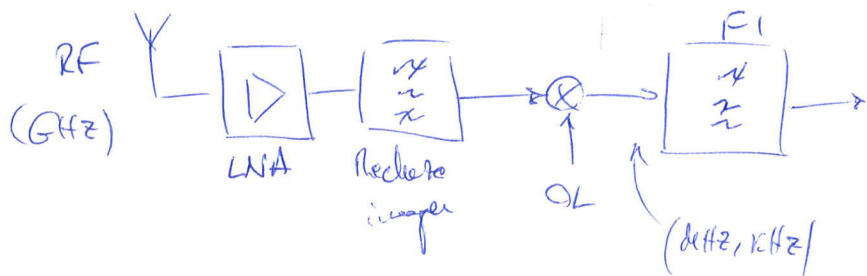
$$(Hg \leq 1)$$



3. - MEZCLADORES

3.1.- INTRODUCCIÓN

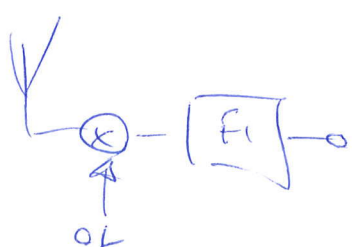
Receptor superheterodina:



ley tambien restringe
de $f_{F1} = 0$

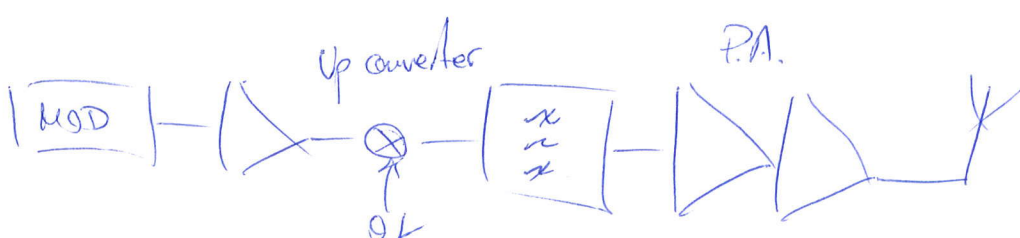
El mezclador no suele limitar el ruido en esta configuración.

En pr. se usa mucha veces la arquitectura de
entradas por mezcladores (ej: 200 GHz), y ahí si hay
que tener en cuenta el ruido en el mezclador



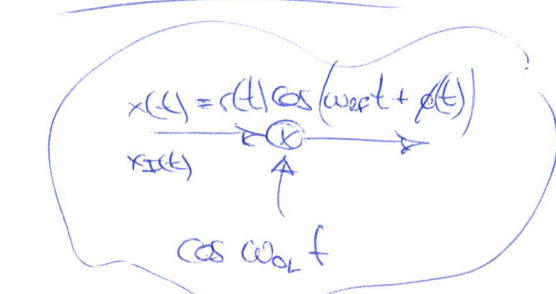
Usa un bajo coste + muy
alta frecuencia (radiosrecocida)

Transmisores: 6 circuitos

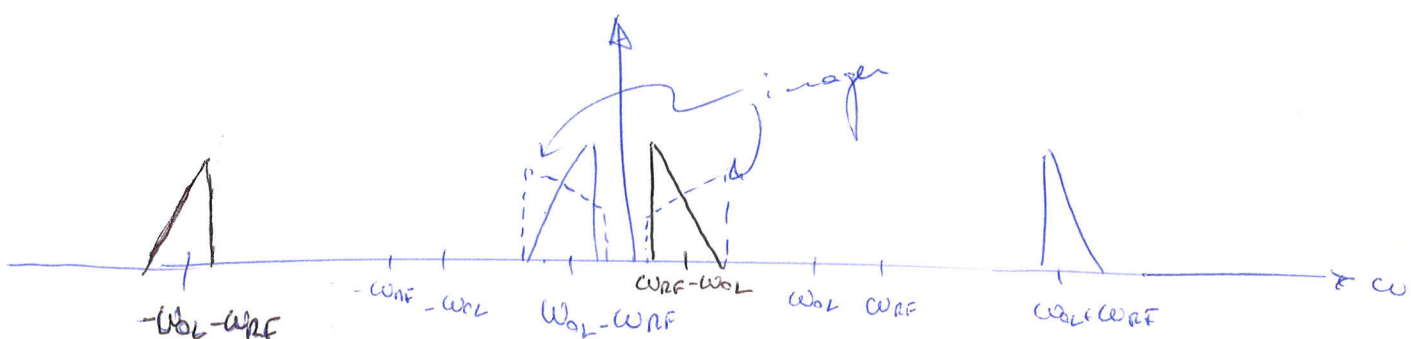
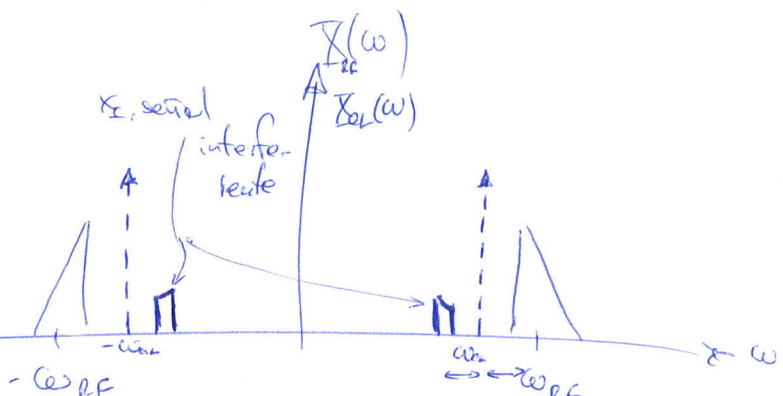


PA: Power
Amplifier

- Modelos sistemáticos:



$$\omega_{OL} < \omega_{RF}$$



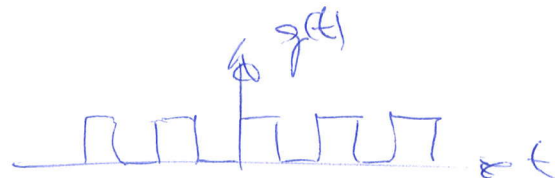
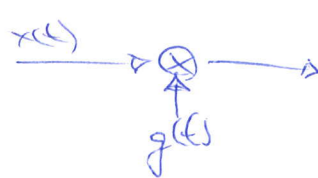
$$\omega_a = \omega_{RF} - \omega_{OL}$$

No hay inversión de espejos porque $\omega_{OL} < \omega_{RF}$

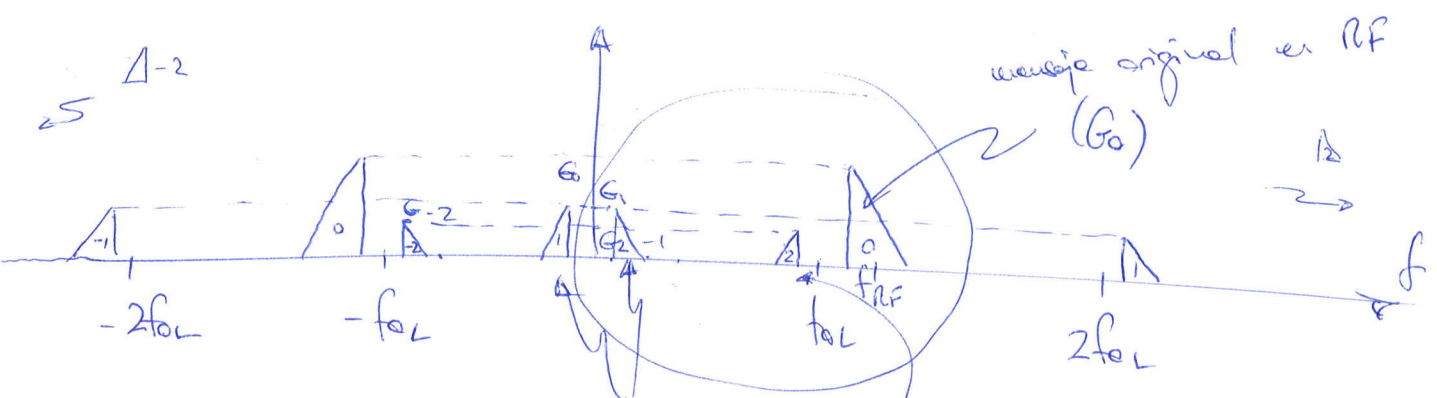
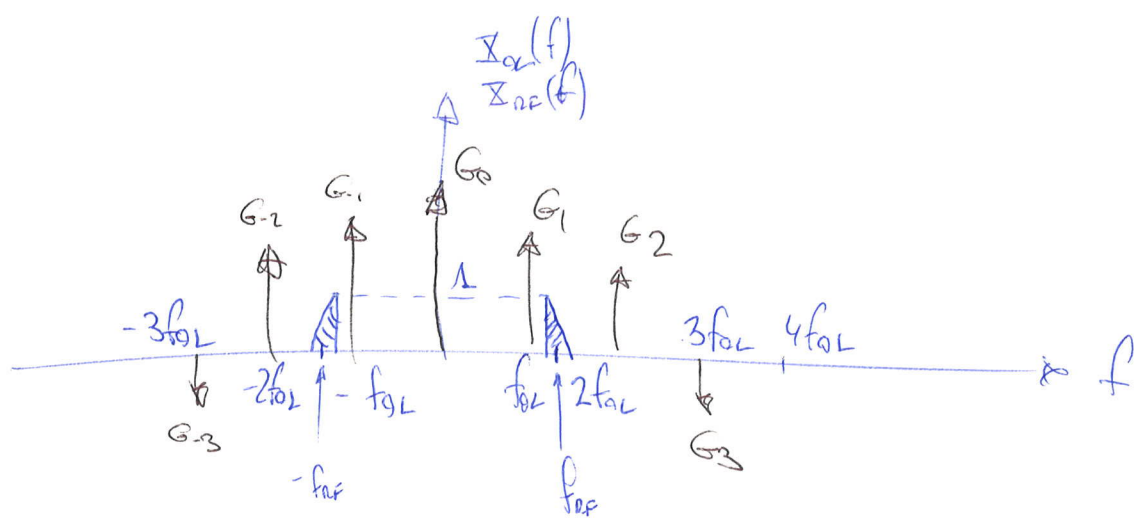
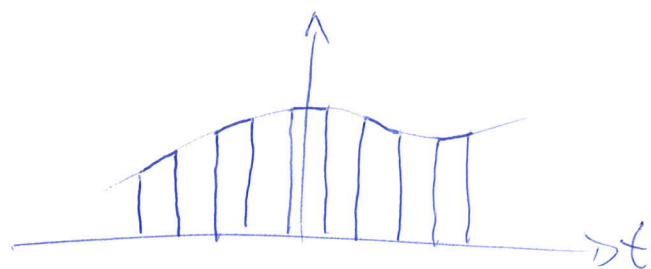
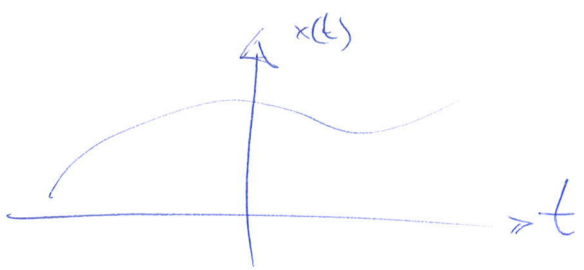
Este es el modelo de modulación con señal.

- Modelo Lineal: es el modelo que usamos

Da una información más cercana a la realidad.

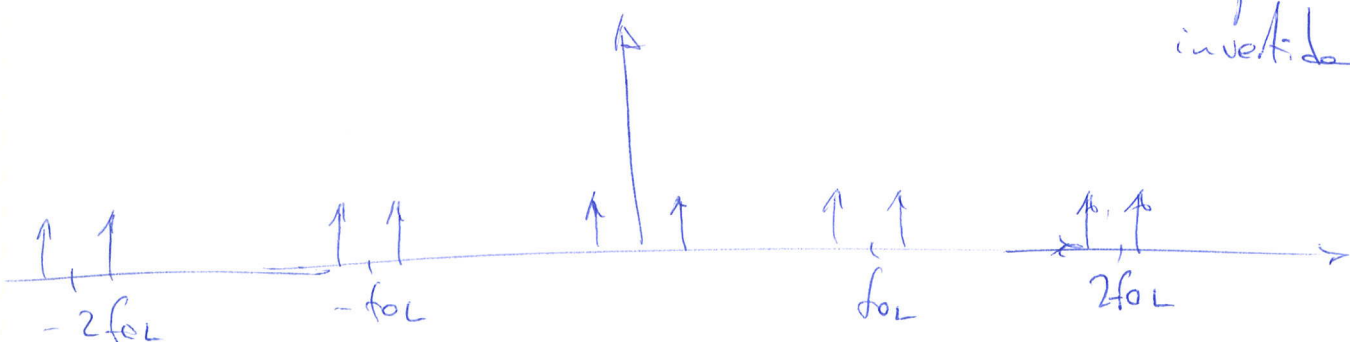


$g(t)$ no cualquier tipo de señales pulsadas



$G_1 \text{ en } F_1$
 $f_{F1} = f_{RF} - f_{OL}$

$G_2 \text{ en } b \text{ frequentie}$
 imager
 $f_{\text{imager}} = f_{OL} - f_{F1}$
 inverteerde

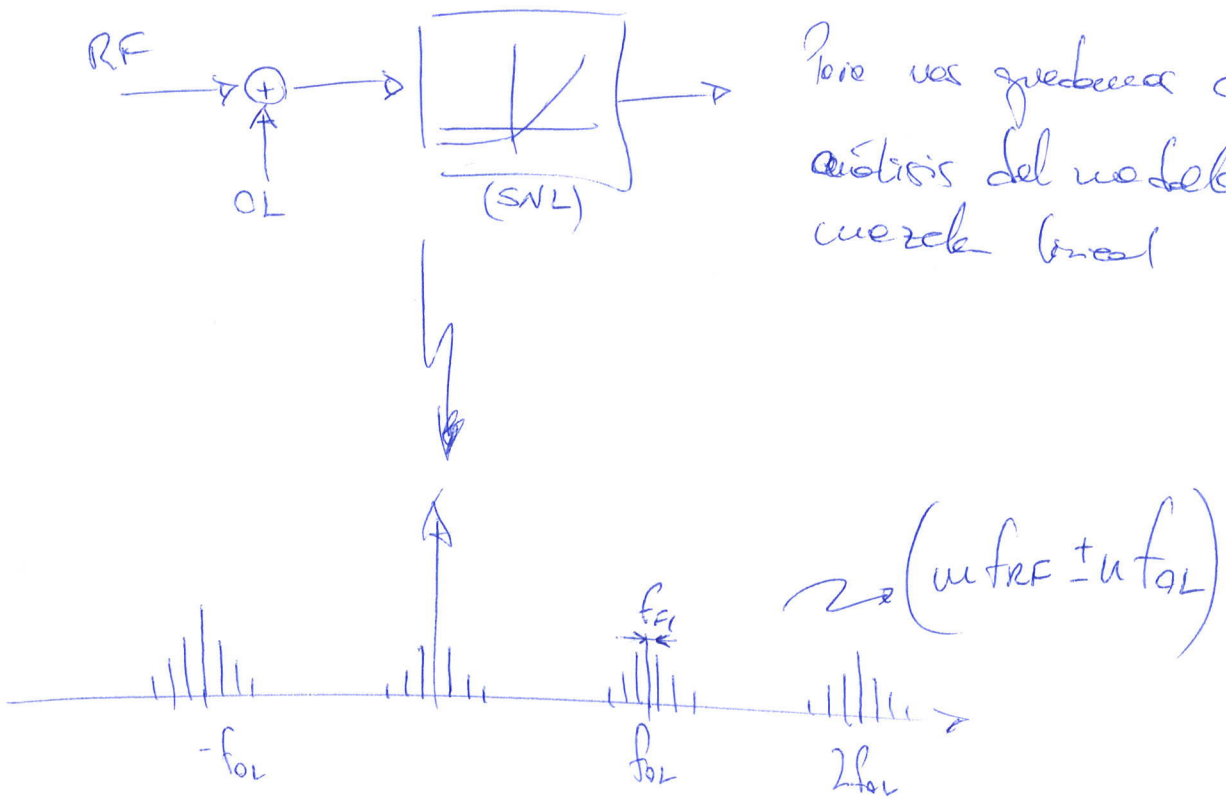


Hoge lineal \rightarrow opgesplitte banden en frequenties
 $(u f_{OL} \pm f_I)$

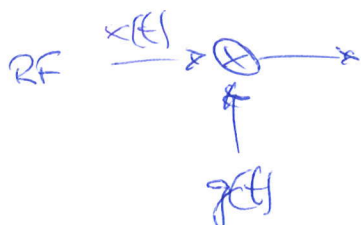
Frecuencias importantes:

- f_{RF}
- f_{FL}
- $f_{imaging}$ → si se vuelve a mezclar, vale f_{FL}

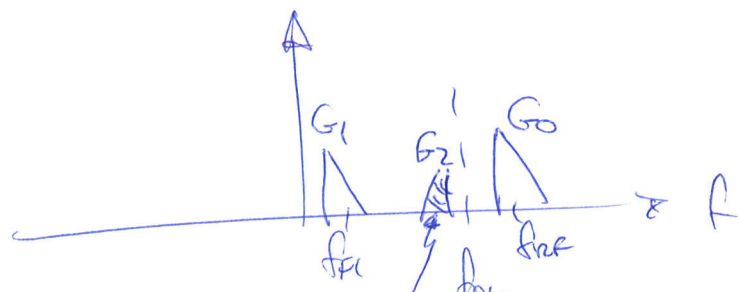
Modo cíclico más profundo:



- Frecuencia intercal (modo de vezel lineal)
- Flujo generado internamente:



solo RF + b entradas



el vezel genera flujo interno

Si este flujo se vuelve a vezel (resonador),

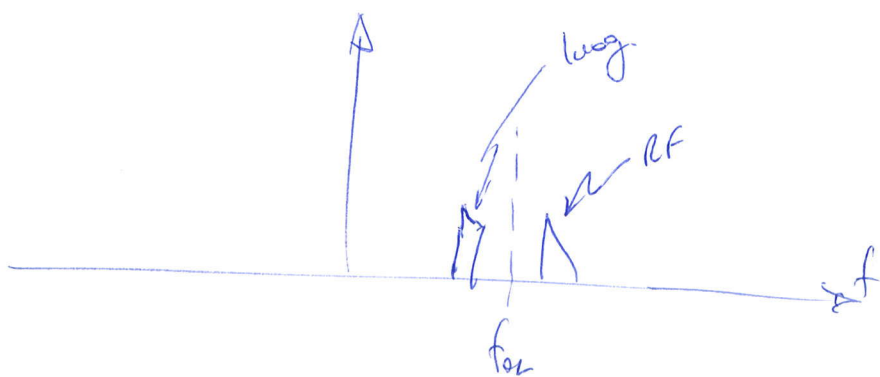
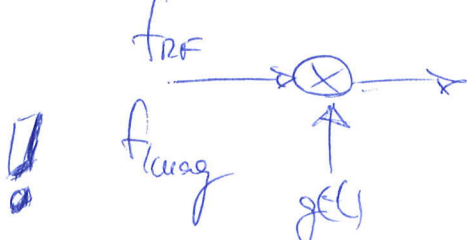
vuelve a aparecer en F1

\Rightarrow b que se obtiene en f_1 es el flujo de los primos vezel ($\propto G_1$) y

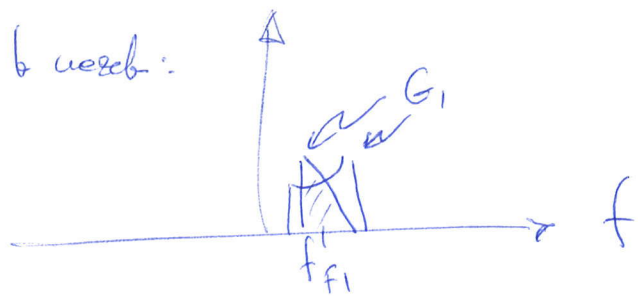
el segundo ($\propto G_2$), por b que podemos tener refuerzo si van en fase

\rightarrow vezel para reforzamiento de intercal

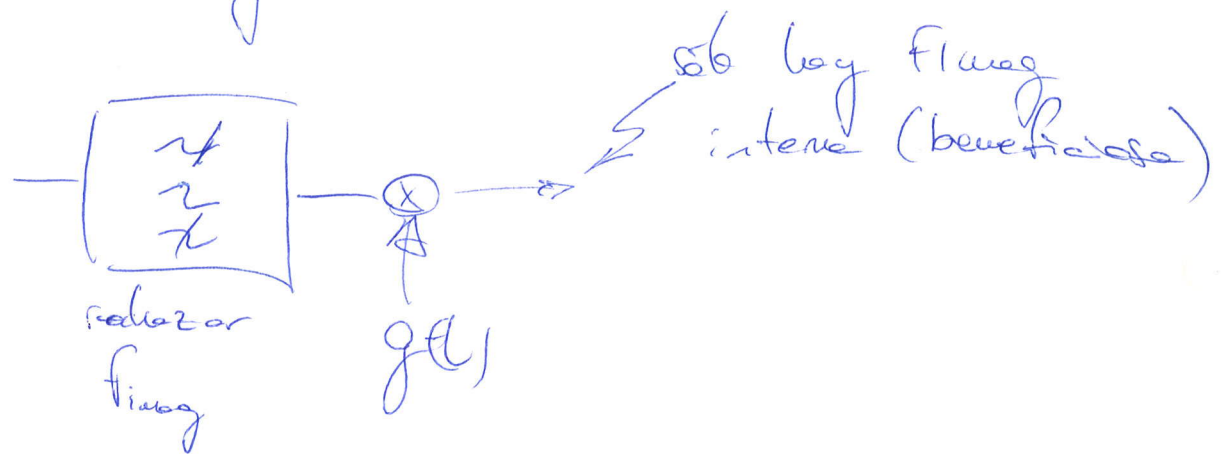
- Flujo exterior:



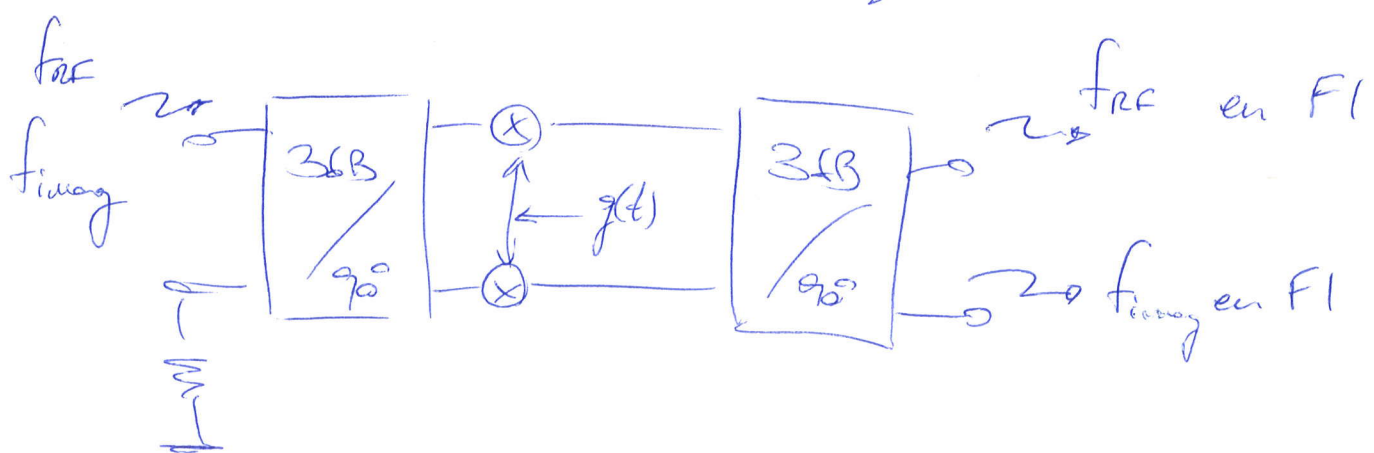
tres fuerzas:



eliminar f_{flug} :



- Hezbobras con reelezo de piezas: estrutura balanceada





3.2: CLASIFICACIÓN DE LOS MEZCLADORES

1.- Seguir el tipo de dispositivo

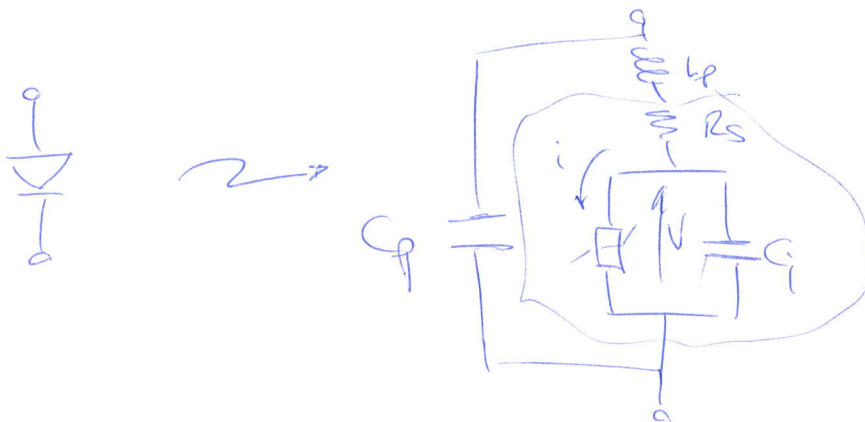
- Diodo Schottky: alta frecuencia ($> 20 \text{ GHz}$)
- FET: más usado en bajas frecuencias

2: Seguir la topología

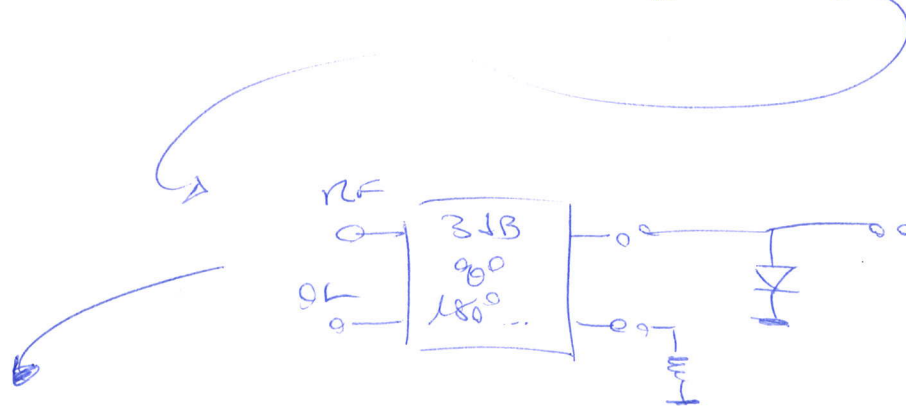
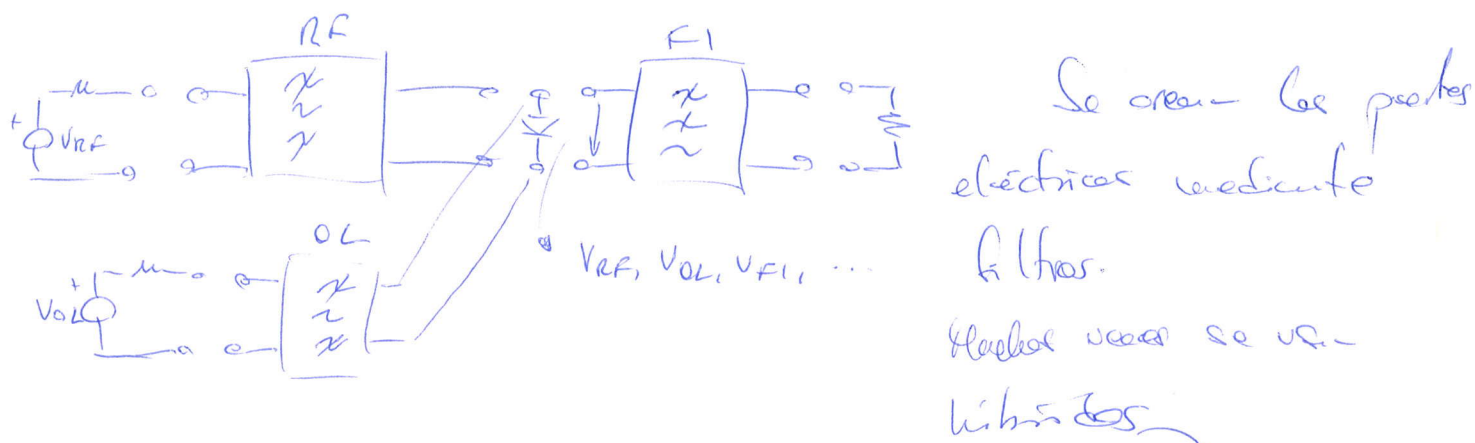
- Singles: un solo dispositivo.
- Balancados
- Doblemente balanceados

— e —

- DIODOS SCHOTTKY :

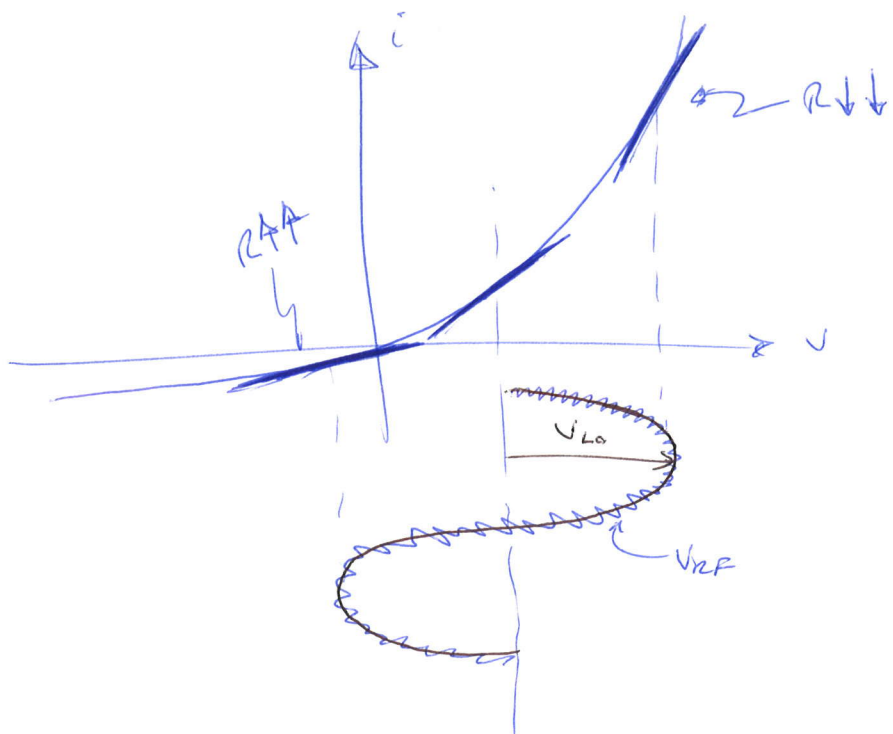


$$i = I_s(e^{\alpha V} - 1)$$



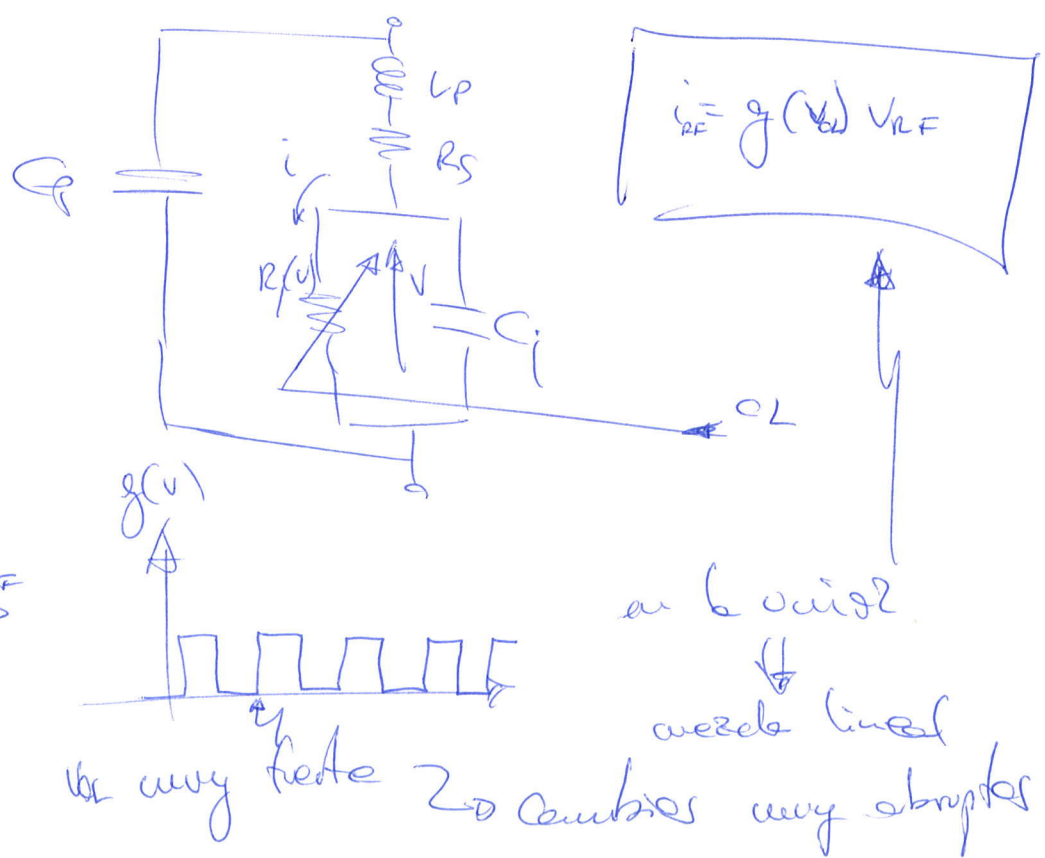
RF $\approx 10,0 \text{ GHz}$
 LO $\approx 10 \text{ GHz}$ > f_máx (basear los filtros para
 que estén desacoplados)

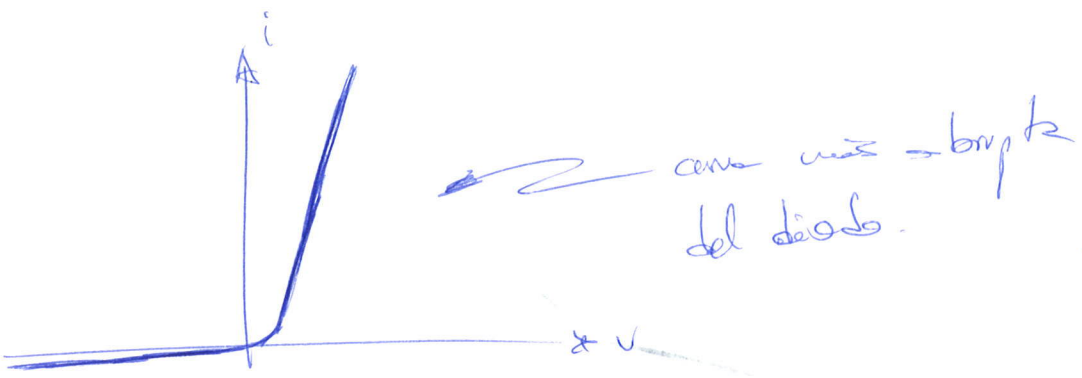
Objetivo: a la unión tiene que ser ancho de
 LO y muy poco de RF



R_{RF} ve una impedancia variable al ritmo de OL
 (en defector si gree le cambia la polarizació)

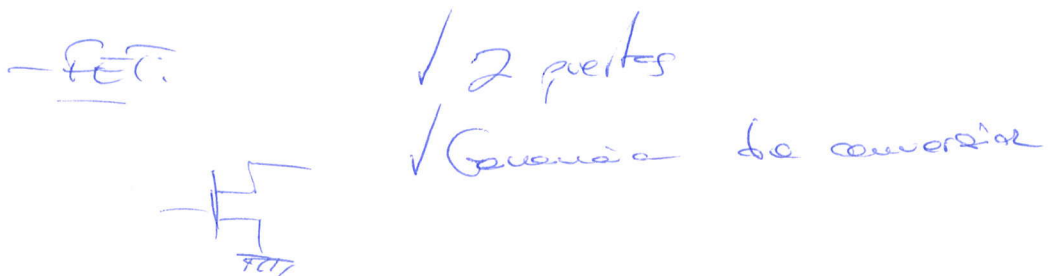
$$\left[\frac{1}{R_i(v)} = g(v) = \frac{di}{dv} = I_s \alpha e^{\alpha v} \right]$$



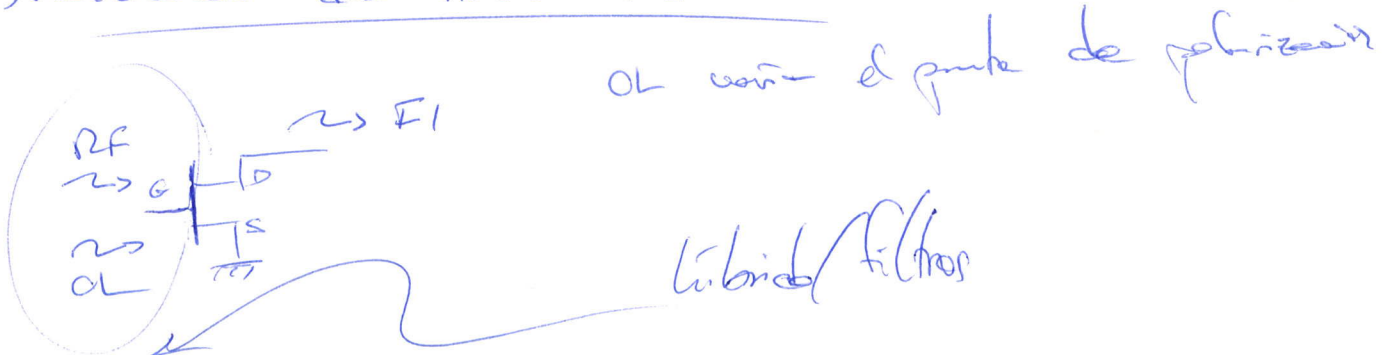


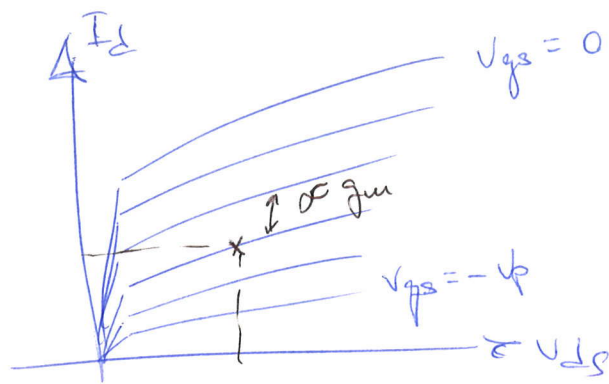
- / Una posibilidad a otras formas
- / Mejor nivel de ruido que FET
- ✓ Fáciles de entender y diseñar
- ✗ No tiene ganancia de conversión (perdidas)
- ✗ Una perdida de los sistemas intrínsecos entre RF, OL y FI
- ✗ Necesita mucha potencia de DC

Este concepto también es válido para los mezcladores a FET.



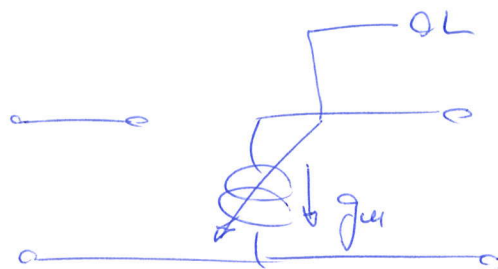
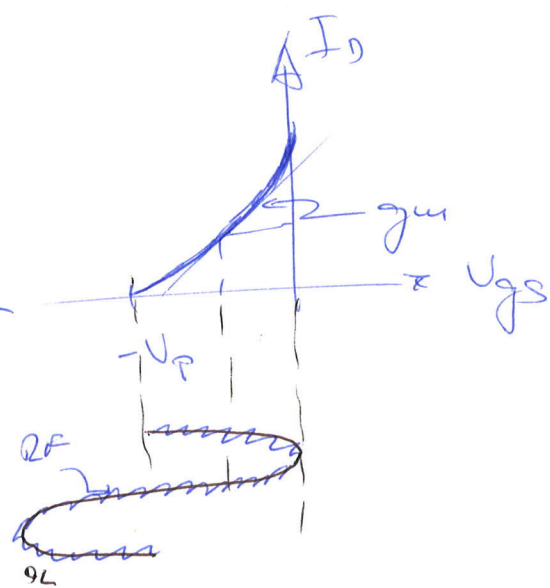
a) Mezclador de transconductancia:





OL $\begin{cases} > 0 \\ < -V_p \end{cases}$ → trabajando todo este rango

Se modela el generador de corriente del RET

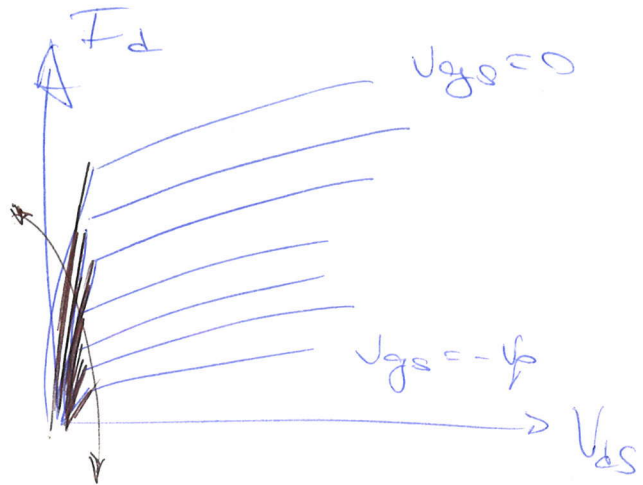
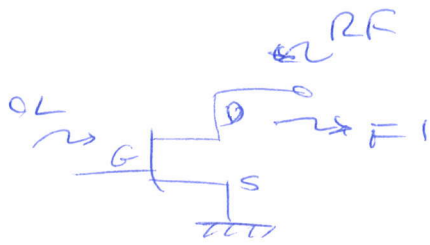


✓ Aislamiento intrínseco de RF a RL y OL
(\approx)

✓ Puede tener ganancia de conversión

✓ Baja rdb

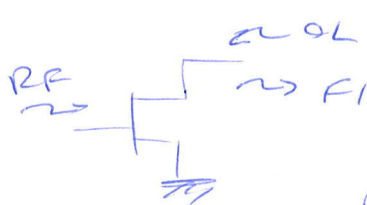
b) Mezcladores resistivos:



$V_{ds} \rightarrow$
 V_{gs} variable $\Rightarrow R(t) \rightarrow$ más paralelo ->
 mezcla lineal \Rightarrow meza armadas
 y producir de intermodulación

✗ No tiene generación de conversión

c) Mezcladores de transconductancia o bimodo por drenador:



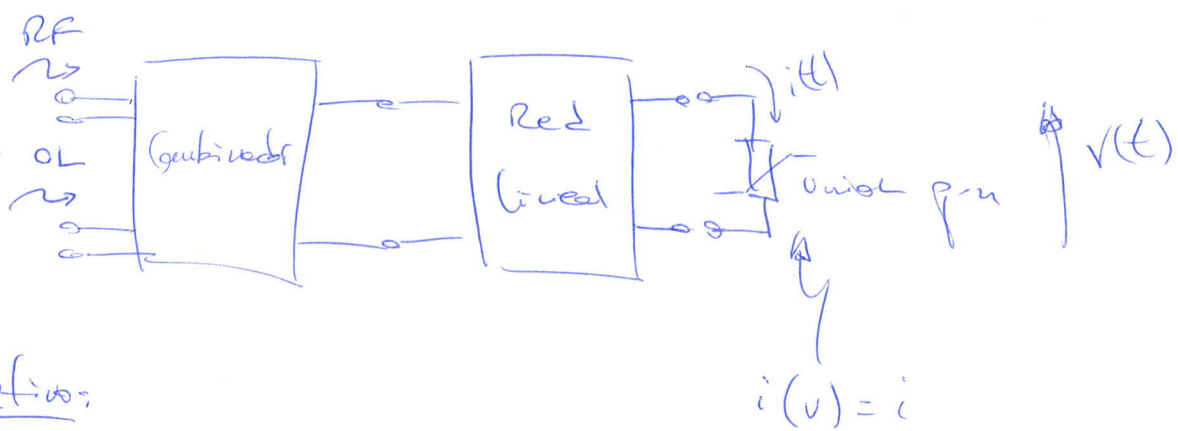
- . Filtrado sólo OL \rightarrow resistencia
- . Filtrado sólo OL \rightarrow generador

Polarizado directamente el catodo

Sentencias mixtas \rightarrow compromiso

✓ distanciamiento suficiente de OL e RF

3.3.- PROCESO DE MEZCLA: ANÁLISIS DE GRAN SEÑAL / ANÁLISIS DE PEQUEÑA SEÑAL



Objetivo:

$$V(t) = \underline{V_{OL}(t)} + \underline{U_{RF}(t)}$$

↓ ↓
 mucho muy pequeño

Serie de Taylor: (Centrada en $V_{OL}(t)$)

$$i(t) = i(v(t)) = i(V_{OL}(t)) + \left. \frac{di}{dv} \right|_{v=V_{OL}(t)} V_{RF}(t) + \dots$$

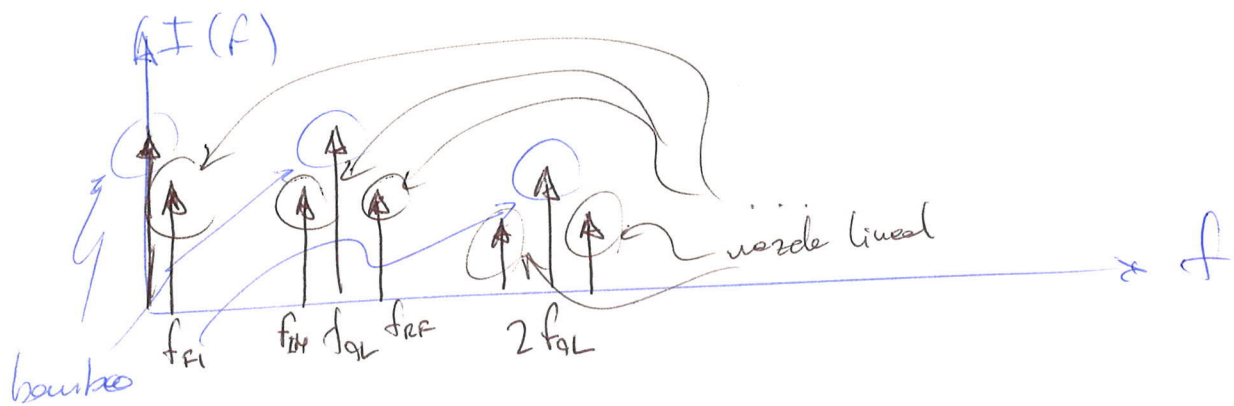
$V_{RF} \ll V_{OL} \Rightarrow$ podemos despreciar los términos superiores

$$i(t) = i(V_{OL}(t)) + g(V_{OL}(t)) V_{RF}(t)$$

$g(V_{OL}(t)) V_{RF}(t)$ = modelo de mezcla lineal
(Este lineal varía con el tiempo)

$i(V_{OL}(t))$ = constante de basura o bajar la amplitud del OL

Espectro de la corriente (ojo píntico):



- un rayo espectral en tensión genera unas ondas en corriente, que al oír se le resisten generan más rayos en tensión.

$$\Delta i(t) = g(V_{OL}(t)) V_{RF}(t)$$

- Análisis:

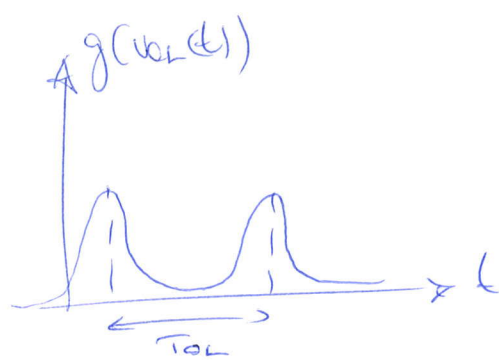
1.- Calcular $g(V_{OL}(t)) \rightarrow$ análisis de gran señal:

Quito RF y analiza el circuito considerando sólo OL de baulbo

→ SW de creírter, matlab

Buscamos $V_{OL}(t)$ en la onda, y así saber

$$g(V_{OL}(t)) = \alpha I_S e^{\alpha V_{OL}(t)}$$



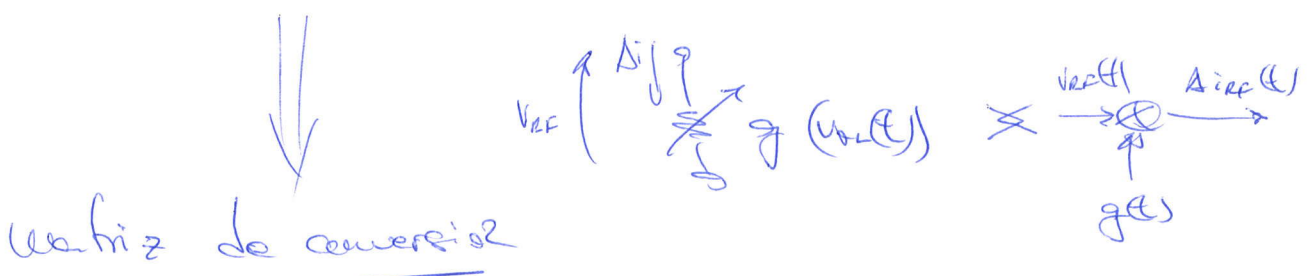
En la medida lineal, la razón entre f_{RF} es proporcional a G_1 , la de $f_{RF} \propto G_2$ y la de $f_{RF} \propto G_0$.
 $\Rightarrow G_1$ lo más grande posible

2.- Análisis de señales seno: (sin QL)

Considerando $g(volt(t))$, la señal

$$A_i(t) = g(volt(t)) V_{RF}(t)$$

es lineal y variable en el tiempo

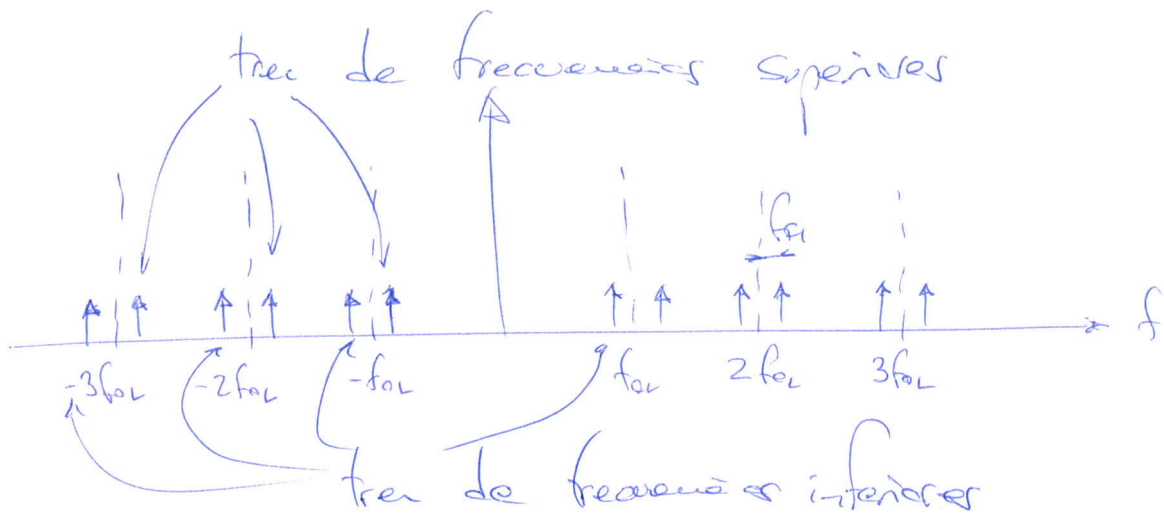


Matriz de conversión

$$\{ \text{13} \quad V_{RF}(t) = \sum_{n=-\infty}^{\infty} V_n^{\text{inf}} e^{j\omega_n t} + \sum_{n=-\infty}^{\infty} V_n^{\text{sup}} e^{j\omega_n t}$$

tree inferior tree superior

(doble serie de Fourier)



$$\omega_n^{\text{sup}} = u \cdot \omega_{0L} + \omega_{F1}$$

$$\omega_n^{\text{inf}} = u \cdot \omega_{0L} - \omega_{F1}$$

$$\left\{ \begin{array}{l} [2] \Delta_{\text{IRF}}(t) = \sum I_n^{\text{inf}} e^{i\omega_n^{\text{inf}} t} + \sum I_n^{\text{sup}} e^{i\omega_n^{\text{sup}} t} \\ [3] g(t) = \sum G_n e^{i\omega_n t} \end{array} \right.$$

[1], [2], [3] cumplen la relación $\Delta_{\text{IRF}}(t) = g(t) V_R(t)$

$$I_n^{\text{sup}} = \sum_{k=-\infty}^{\infty} G_k V_{n-k}^{\text{sup}} = G_n * V_n^{\text{sup}}$$

$$I_n^{\text{inf}} = \sum_{k=-\infty}^{\infty} G_k V_{n-k}^{\text{inf}} = G_n * V_n^{\text{inf}}$$

$$\omega_u^{\text{sup}} = -\omega_{-u}^{\text{inf}} \quad (\text{unresonant frequency case})$$

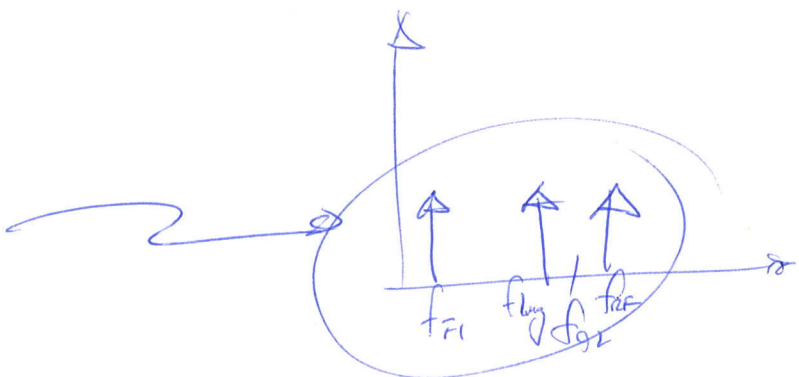
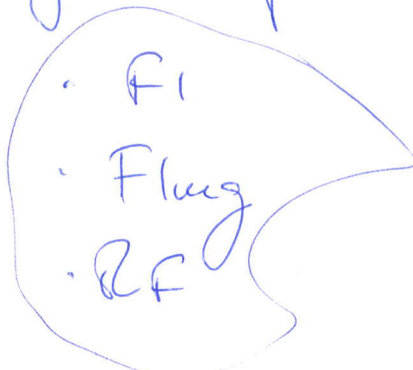
\downarrow selected modes

$$V_u^{\text{sup}} = (V_{-u}^{\text{inf}})^*$$

$$I_u^{\text{sup}} = (I_{-u}^{\text{inf}})^*$$

Admitted wave numbers as filter factor for

rays except:



$$\omega_u^{\text{sup}} = \omega_{f_1}$$

$$\omega_u^{\text{sup}} = \omega_{RF}$$

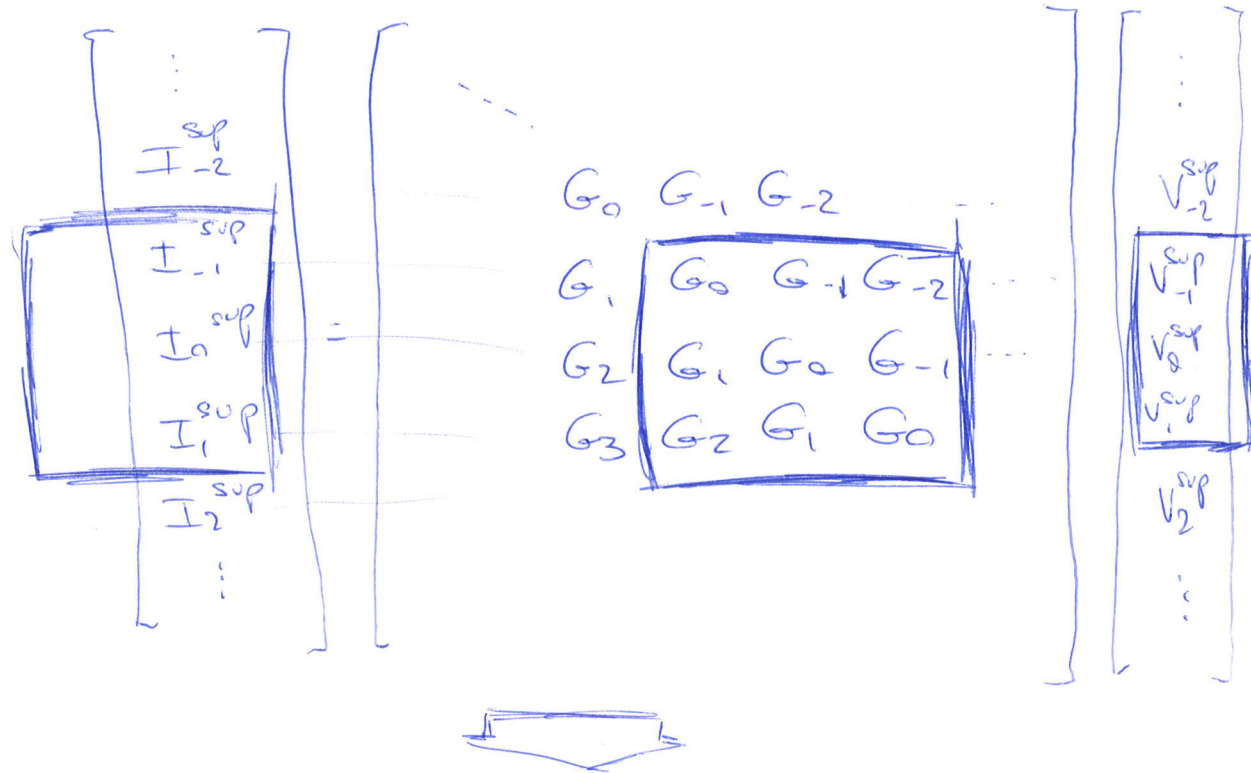
$$\omega_{-u}^{\text{inf}} = \omega_{\text{Flug}} = -\omega_{-f_1}^{\text{sup}}$$

Wavelengths: $f_{f_1} \rightarrow 10 \text{ GHz}$

$f_{RF} \rightarrow 10 \text{ GHz} \Rightarrow 2f_{RF} = 20 \text{ GHz}$

\Rightarrow Resonant mode focal filter for rays
superior

Fame vertical:



$$\begin{bmatrix} (I_1^{inf})^* \\ I_0^{sup} \\ I_1^{sup} \end{bmatrix} = \begin{bmatrix} G_0 & G_{-1} & G_{-2} \\ G_1 & G_0 & G_{-1} \\ G_2 & G_1 & G_0 \end{bmatrix} \begin{bmatrix} (V_1^{inf})^* \\ V_0^{sup} \\ V_1^{sup} \end{bmatrix}$$

$$G_{-1} = G_1^*$$

$$g(t) \in \mathbb{R}$$

$$\bar{G} = \begin{bmatrix} G_0 & G_1^* & G_2^* \\ G_1 & G_0 & G_1^* \\ G_2 & G_1 & G_0 \end{bmatrix}$$

Finalmente:

$$\begin{bmatrix} I_{\text{long}}^* \\ I_{F_1} \\ I_{RF} \end{bmatrix} = \begin{bmatrix} G_0 & G_1^* & G_2^* \\ G_1 & G_0 & G_1^* \\ G_2 & G_1 & G_0 \end{bmatrix} \begin{bmatrix} V_{\text{long}}^* \\ V_{F_1} \\ V_{RF} \end{bmatrix}$$

Zo mezclador (mixer de frecuencia)

$$V(t) \left(\begin{array}{c} g(t) \\ \cancel{g(t)} \end{array} \right)$$

$$i(t) = g(t) v(t)$$

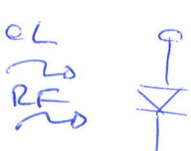
 salida de la frecuencia

$$\bar{I} = \bar{G} \cdot \bar{V}$$

$$\bar{V} \left(\begin{array}{c} g(t) \\ \bar{G} \end{array} \right)$$

$$\bar{V} = \begin{bmatrix} V_{\text{long}}^* \\ V_{F_1} \\ V_{RF} \end{bmatrix}$$

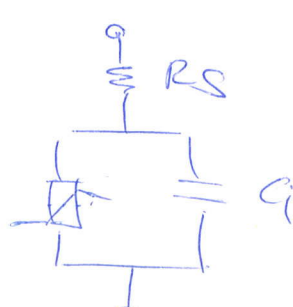
$$\bar{I} = \begin{bmatrix} I_{\text{long}}^* \\ I_{F_1} \\ I_{RF} \end{bmatrix}$$

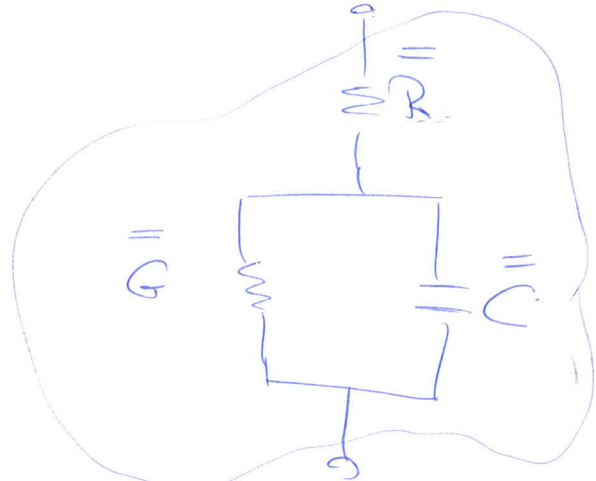


Después de
gran señal

$$g(V_{RF}(t))$$

$$\frac{1}{G}$$





$$\bar{\bar{R}} = \begin{bmatrix} R_0 & 0 & 0 \\ 0 & R_0 & 0 \\ 0 & 0 & R_0 \end{bmatrix}$$

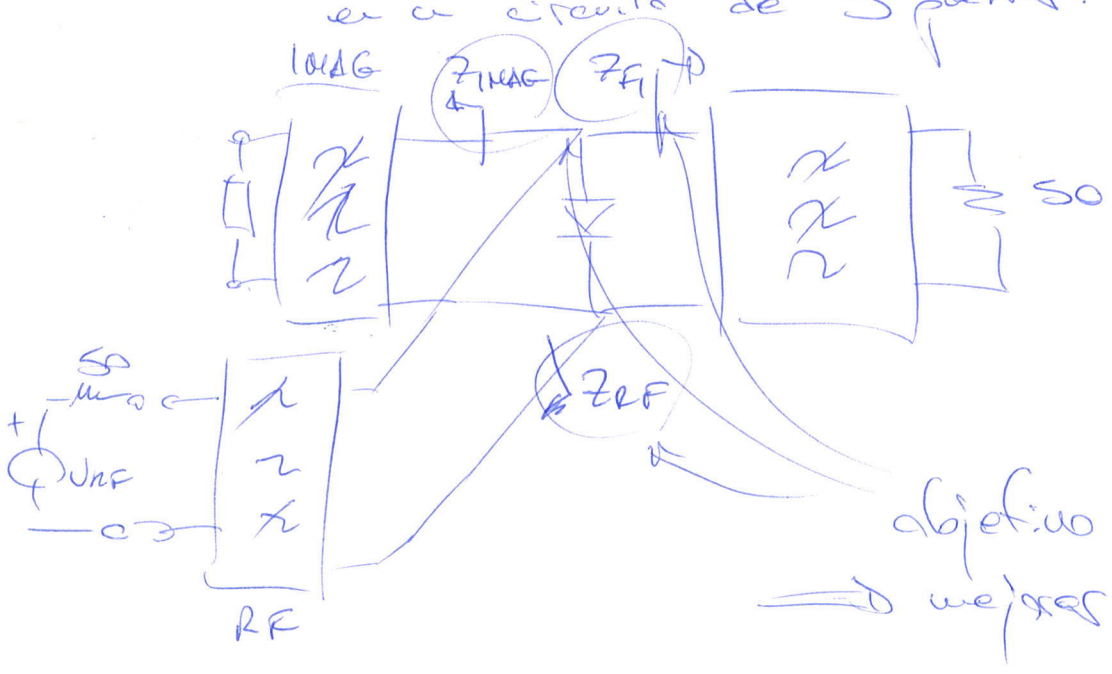
$$\bar{\bar{C}} = \begin{bmatrix} j\omega_{mag} C & 0 & 0 \\ 0 & j\omega_{ff} C & 0 \\ 0 & 0 & j\omega_{rf} C \end{bmatrix}$$

$\bar{\bar{Y}}_{ci}$

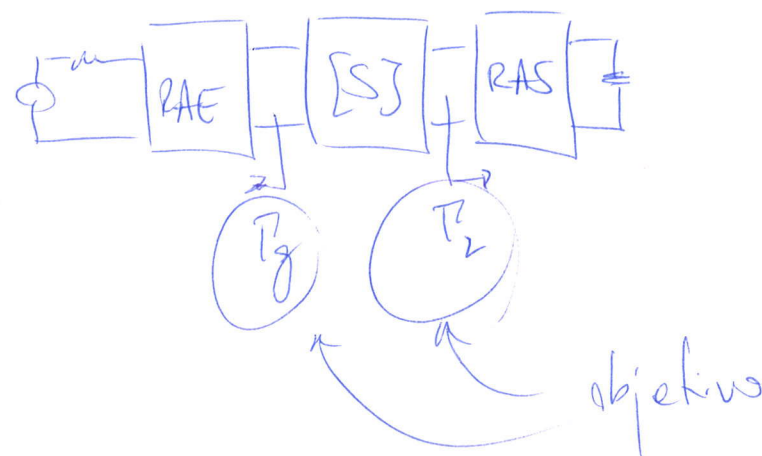
$$\bar{\bar{V}} = \left(\bar{\bar{R}} + (\bar{\bar{G}} + \bar{\bar{C}})^{-1} \right) \cdot \bar{\bar{I}}$$

→ con esto se le convierte el filtro

en un circuito de 3 puentes:



Amplificador:



La energía que veo al puente RAG

se va a perder \Rightarrow se restringe que

$\Rightarrow Z_{RAG}$ sea lo más

$\rightarrow Z_{RAG}$ para que sea el puente de vez (refuerzo de imagen)

3.4.- PROCESO PARA ENCONTRAR LAS IMPEDANCIAS ÓPTIMAS

Objetivo: encontrar Z_F , Z_{RAG} , Z_R una vez realizadas las análisis de que son

$$\begin{pmatrix} I_F^* \\ I_{F1} \\ I_{RF} \end{pmatrix} = \begin{pmatrix} G_0 & G_1^* & G_2^* \\ G_1 & G_0 & G_1^* \\ G_2 & G_1 & G_0 \end{pmatrix} \begin{pmatrix} V_I^* \\ V_{F1} \\ V_{RF} \end{pmatrix}$$

C la base oíz de del dispositivo

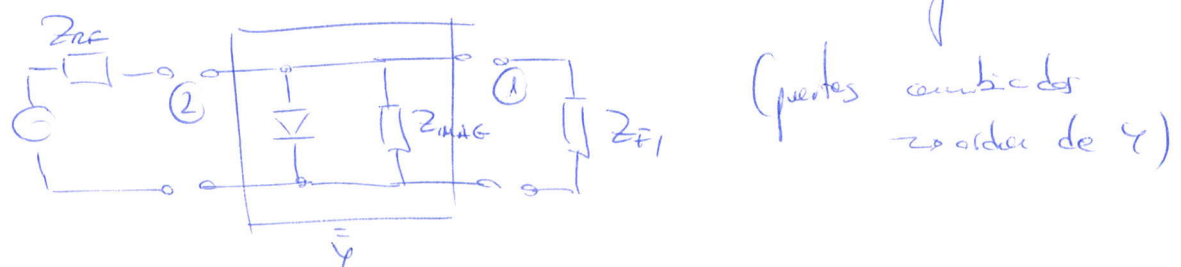
1.- Esoger un impedancia Z_{IMP} (sólo fuentes) un gral de libertad (ser reactiva pura)
 \hookrightarrow esoger la base

$$\begin{aligned} V_F &= Z_F I_F \\ V_I^* &= Z_I^* I_I^* \end{aligned} \quad \left| \begin{array}{l} \rightarrow \text{gitar la variable en} \\ \text{la matriz} \\ (\Rightarrow 2 \text{ partes}) \end{array} \right.$$

$$\boxed{\begin{aligned} I_{F1} &= \left(G_0 + \frac{|G_1|^2}{Y_I^* - G_0} \right) V_{F1} + \left(G_1 + \frac{G_1 G_2^*}{Y_I^* - G_0} \right) V_{NF} \\ I_{NF} &= \left(G_1 + \frac{G_2 G_1^*}{Y_I^* - G_0} \right) V_{F1} + \left(G_0 + \frac{|G_2|^2}{Y_I^* - G_0} \right) V_{NF} \end{aligned}}$$

\rightarrow media matriz de parámetros
 γ de un bipolo equivalente

2.- El problema se convierte en un problema
de diseño de un bipolo
 \rightarrow técnicas de diseño de amplificadores



$$\bar{\gamma} = \left[\begin{array}{l} G_0 + \frac{|G_1|^2}{Y_{IMAG}^* - G_0} \\ G_1 + \frac{G_2^* G_1^*}{Y_{IMAG}^* - G_0} \\ G_2 + \frac{|G_2|^2}{Y_{IMAG}^* - G_0} \end{array} \right]$$

3.- Se pude adquirir alors la matriz de proyección S del bipunto

4.- Buscamos máxima probabilidad en $Z_{FI} \Rightarrow T_{RF}, T_{FI}$ que den G_f máxima.

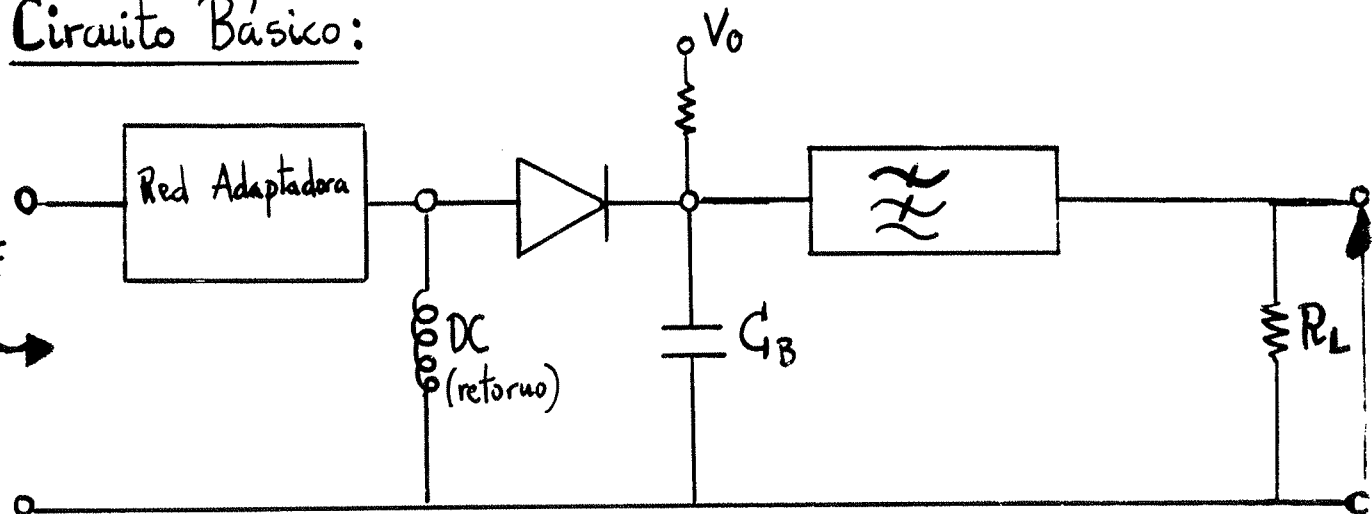
Dado \Rightarrow incógnita estable
 $\rightarrow G_f < \Delta$ (pésidas)

5.- Se pude saber e considerar la forma de Z_{IMAG}
 y ver como vale la fdtas \Rightarrow iterar
 (diseño de un mecanismo con refuerzo de inyección)

Ejemplos de implementación: (* 3.25 - 3.30 *)

- Detectores.

Circuito Básico:



- Característica tensión - corriente en un "diodo ideal":

$$i = i_s [e^{\alpha \cdot V_j} - 1]$$

i_s = corriente de saturación del Diodo

$$\alpha = e / n k \cdot T ; n = \text{factor de idealidad } (1 \leq n \leq 1.5)$$

V_j = Voltaje instantáneo en la unión del diodo

i = corriente instantánea del diodo.

$$\text{Si } \underline{V_j(t) = V_j \cdot \cos \omega_p t + V_0}$$

V_0 = tensión de polarización.

→ Podemos hacer un desarrollo de Taylor en torno a V_0 :
(hipótesis de pequeña señal)

$$i = i(V_0 + V_j \cdot \cos \omega_p t)$$

$$\underline{i = i(V_0) + [V_j \cdot \cos \omega_p t] \cdot \frac{\partial i}{\partial v} \Big|_{V_0} + \frac{[V_j \cdot \cos \omega_p t]^2}{2!} \frac{\partial^2 i}{\partial v^2} \Big|_{V_0} + \dots}$$

↓
DC
(I_0) ↓
a ω_p (señal entrada) ↓

$$\frac{V_j^2}{4} \left[1 + \cos(2\omega_p t) \right] \cdot \frac{\partial^2 i}{\partial v^2} \Big|_{I_0, V_0}$$

$$\Rightarrow I_{DC} = \frac{V_j^2}{4} \left[\frac{\partial^2 i}{\partial v^2} \Big|_{I_0, V_0} \right]$$

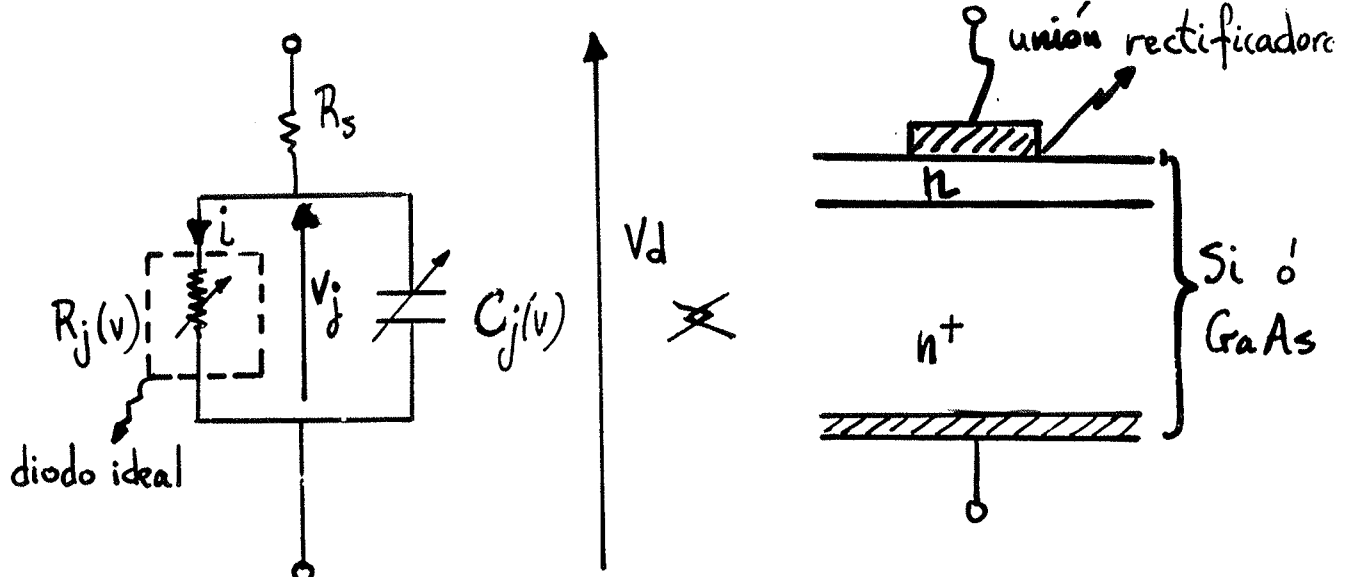
la corriente de DC es proporcional a la potencia de la señal que excita la unión ideal del diodo.

Si $\frac{\partial^2 i}{\partial v^2} \Big|_{I_0, V_0}$ ↑↑ más sensible será el Detector.

Cálculo de la Sensibilidad del Detector.

Objetivo: $\beta_i = \Delta i_{DC} / P_{RF}$ \rightarrow sensibilidad en corriente del Diodo Detector.

Modelo Equivalente del Diodo: (Shottky)



R_s = Resistencia Serie (contacto, capa n,...)

$R_j(V)$ = Resistencia dinámica no lineal de la barrera Shottky

$$R_j(V) = \left[\frac{di}{dv} \Big|_{I_0} \right]^{-1}$$

$$C_j(V) = \frac{C_{j0}}{\sqrt{1 - \frac{V}{\phi}}} = \text{Capacidad de la unión}$$

(Capacidad de carga espaciada)

Cálculo de la Δi_{DC} :

$$\dot{\Delta i}_{DC} = \frac{V_j^2}{4} \left[\frac{d^2 i}{dv^2} \right]_{I_0, V_0}$$

$$i = i_s [e^{\alpha \cdot v} - 1]$$

$$\frac{di}{dv} = i_s [e^{\alpha \cdot v} \cdot \alpha] \Big|_{I_0, V_0} ; \quad \frac{I_0}{i_s} + 1 = e^{\alpha \cdot V_0} \rightarrow e^{\alpha V_0} = \frac{I_0 + i_s}{i_s}$$

$$\Rightarrow \boxed{\frac{di}{dv} \Big|_{I_0, V_0} = \alpha (I_0 + i_s)} \Rightarrow R_j = \frac{1}{\alpha (i_s + I_0)}$$

$$\boxed{\frac{d^2 i}{dv^2} = \alpha \cdot \frac{di}{dv} = \alpha^2 (I_0 + i_s)}$$

$$\boxed{\dot{\Delta i}_{DC} = \frac{V_j^2}{4} \cdot \frac{\alpha}{R_j}}$$

• Cálculo de la Potencia entregada al Diodo:

$$P_{RF} = \frac{1}{2} |V_d|^2 \operatorname{Re}[Y_d]$$

Y_d ≡ Admitancia del Diodo.

$$Y_d = \frac{1/R_j + j\omega C_j}{(1 + R_s/R_j) + j\omega C_j \cdot R_s}$$

$$\operatorname{Re}[Y_d] = \frac{\left(\frac{1}{R_j}\right)\left(1 + \frac{R_s}{R_j}\right) + (\omega C_j)^2 R_s}{\left(1 + \frac{R_s}{R_j}\right)^2 + (\omega C_j R_s)^2}$$

- Si al diodo aplicamos una tensión $V_d \cdot \cos \omega pt$, la tensión en bornas del diodo ideal:

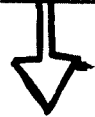
$$V_j = \frac{V_d}{\left(1 + \frac{R_s}{R_j}\right) + j\omega C_j \cdot R_s}$$

$$|V_j| = \frac{|V_d|}{\left[\left(1 + \frac{R_s}{R_j}\right)^2 + (\omega C_j \cdot R_s)^2\right]^{1/2}}$$

$$P_{RF} = \frac{|V_j|^2}{2} \left[\frac{1}{R_j} \left(1 + \frac{R_s}{R_j} \right) + (\omega C_j)^2 R_s \right]$$

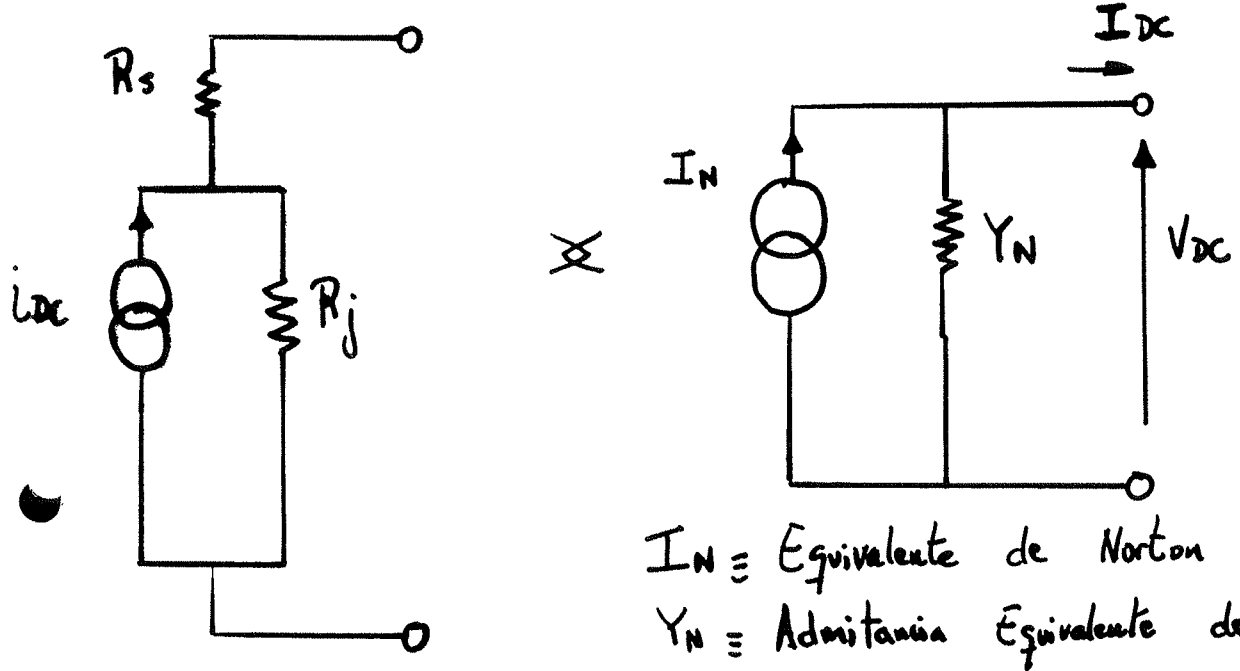
$$\dot{i}_{DC} = \frac{|V_j|^2}{4} \frac{\alpha}{R_j}$$

$$\Rightarrow \beta_i = \frac{\dot{i}_{DC}}{P_{RF}} = \frac{(\alpha / R_j)}{2 \left[\left(1 + \frac{R_s}{R_j} \right) \frac{1}{R_j} + (\omega C_j)^2 R_s \right]}$$



Sensibilidad de Corriente del Detector.

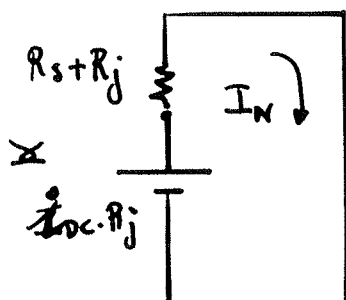
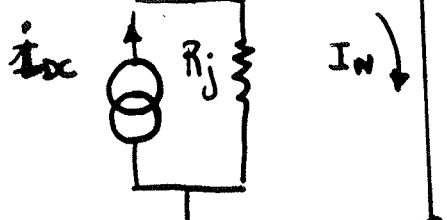
• Equivaleente de Norton y de Thévenin.



$$I_{DC} = I_N - V_{DC} \cdot Y_N$$

$$I_N = I_{DC} \Big|_{V_{DC}=0}$$

• Cálculo de I_N :



$$I_N = \frac{i_{DC} R_j}{R_j + R_s}$$

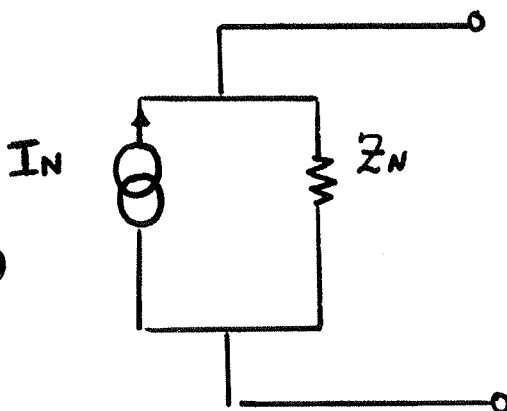
{ Sensibilidad de Corriente en cortocircuito =

$$\beta_i \cdot \frac{R_j}{R_j + R_s}$$

• Calculo de Y_N :

$$Y_N = (Z_N)^{-1} = (R_s + R_j)^{-1}$$

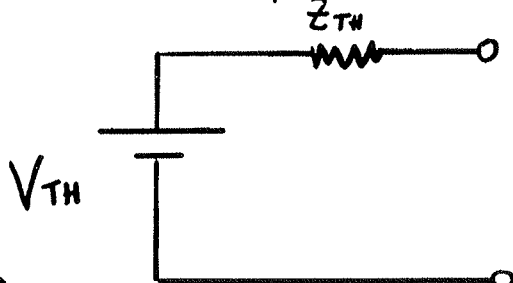
• Circuito Equivalente final:



$$I_N = \frac{i_{DC} \cdot R_j}{R_j + R_s}$$

$$Z_N = R_j + R_s$$

• Si lo ponemos ahora como el Equivalente de Thévenin:



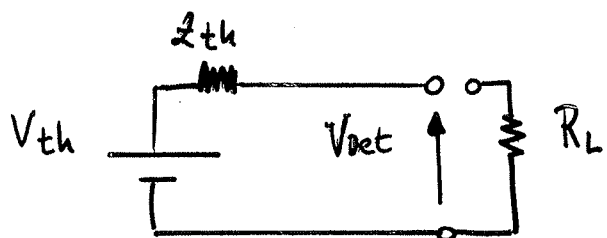
$$V_{TH} = I_N \cdot Z_N = i_{DC} \cdot R_j$$

Sensibilidad de Tensión en circuito abierto del detector =

$$\beta_v = \beta_i \cdot R_j$$

$$Z_{TH} = R_j + R_s$$

- Si tenemos en cuenta el efecto de la carga R_L :



$$V_{\text{Detectada}} = i_{DC} \cdot R_j \frac{R_L}{R_L + R_j + R_s}$$

$$\beta_v = \frac{V_{\text{Detectada}}}{P_{RF}} = \beta_i \cdot R_j \frac{R_L}{R_L + R_j + R_s}$$

Sustituyendo el valor de β_i :

$$\beta_v = \frac{0'5 \cdot R_L}{(i_s + I_o) (R_L + R_j + R_s) \left[\left(1 + \frac{R_s}{R_j} \right) + (\omega C_j)^2 R_s R_j \right]}$$

v/w

• Variación de la Sensibilidad del Detector con la frecuencia

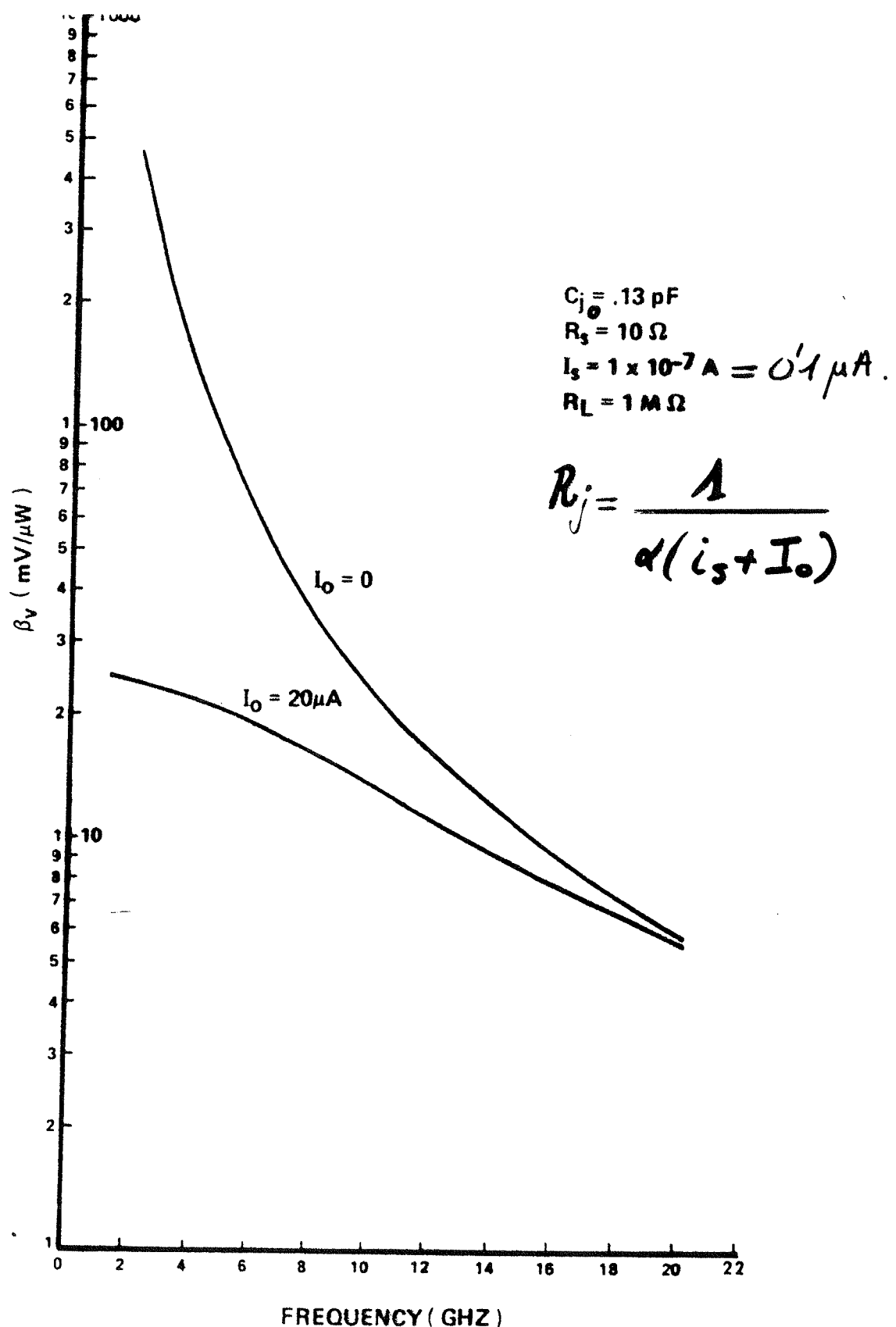


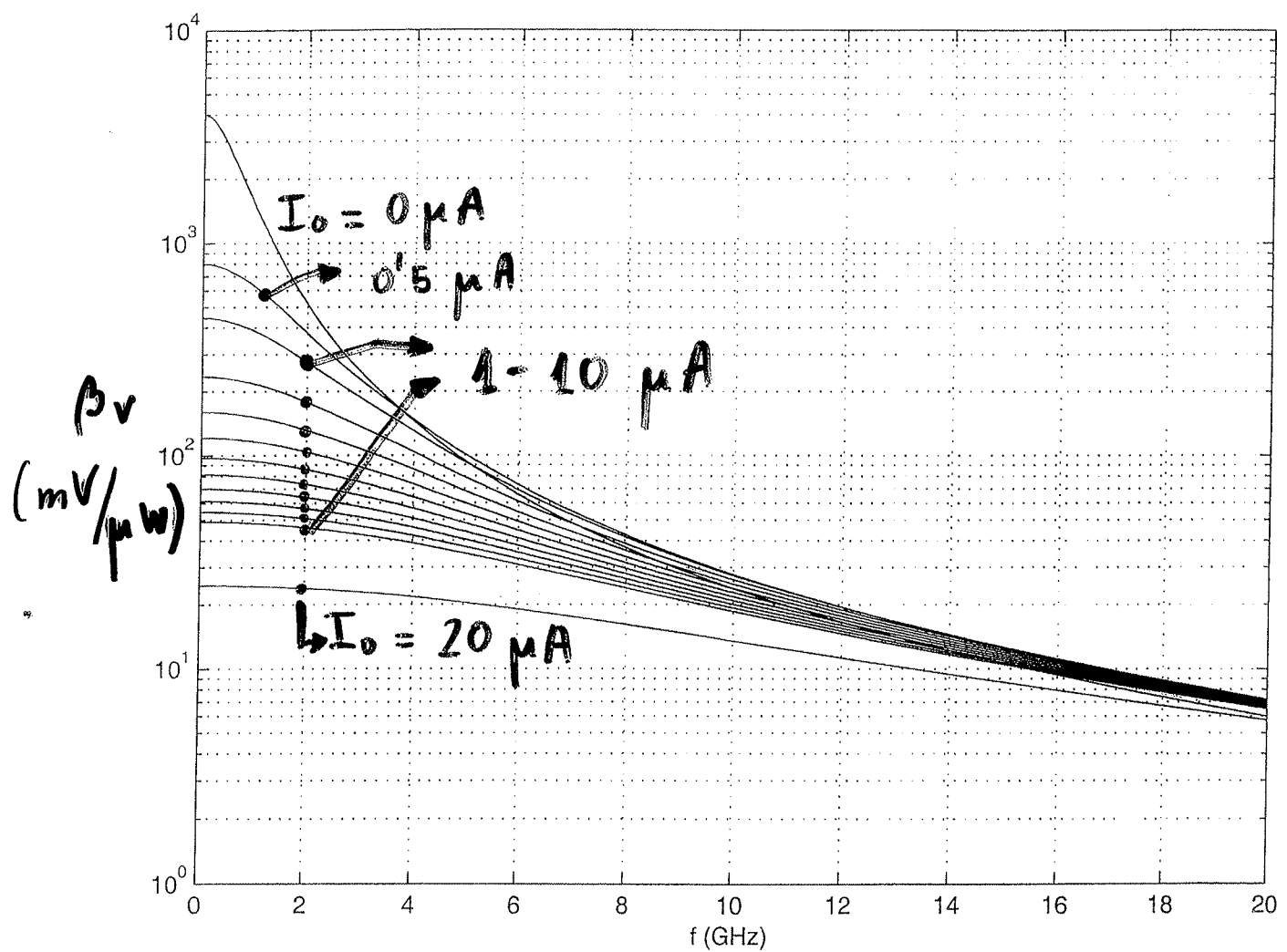
Figure 11.6 Detector diode voltage sensitivity.

$$C_J = 0.13 \text{ pF}$$

$$R_S = 10 \Omega$$

$$i_s = 0.1 \mu\text{A}$$

$$R_L = 1 \text{ M}\Omega$$



• Variación de la Sensibilidad del Detector con la Temperatura

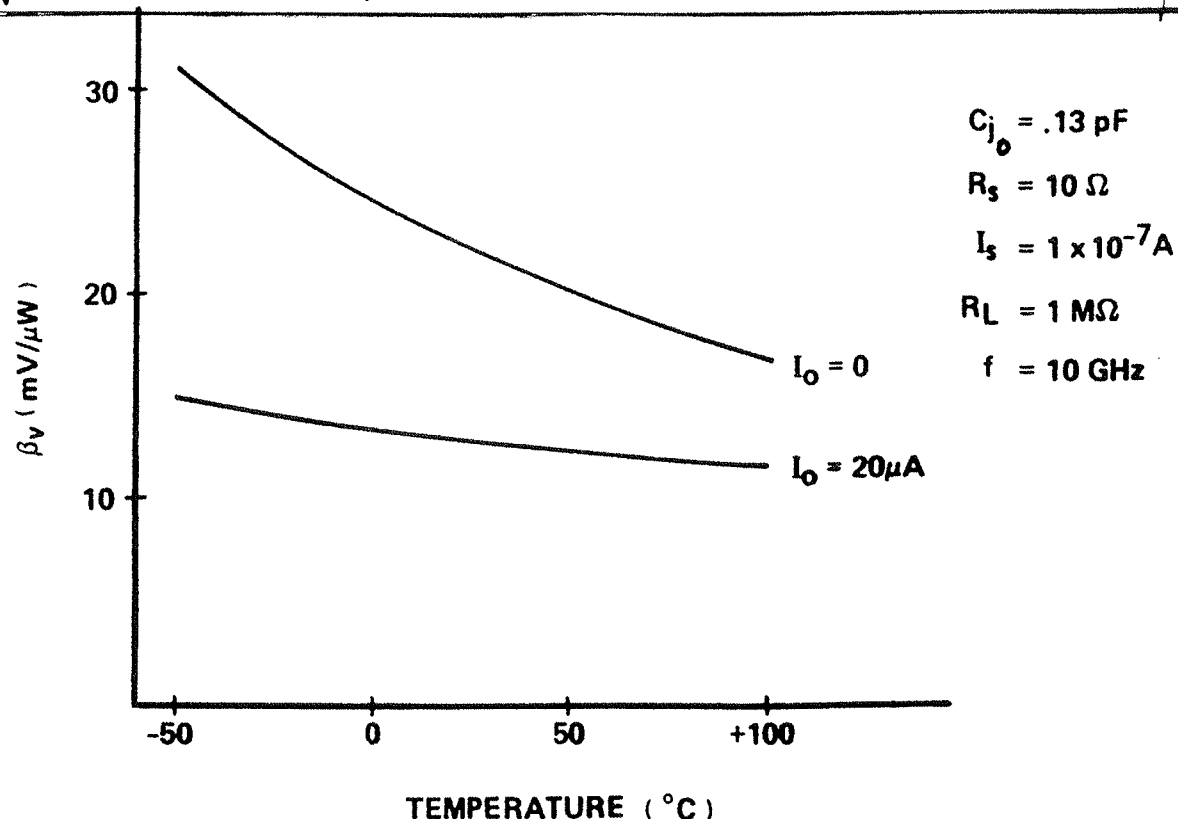


Figure 11.7 Detector voltage sensitivity variation with temperature.

$$R_j = \frac{1}{\alpha(i_s + I_o)} ; \quad \alpha = e / n k T$$

• Tipos de Detector

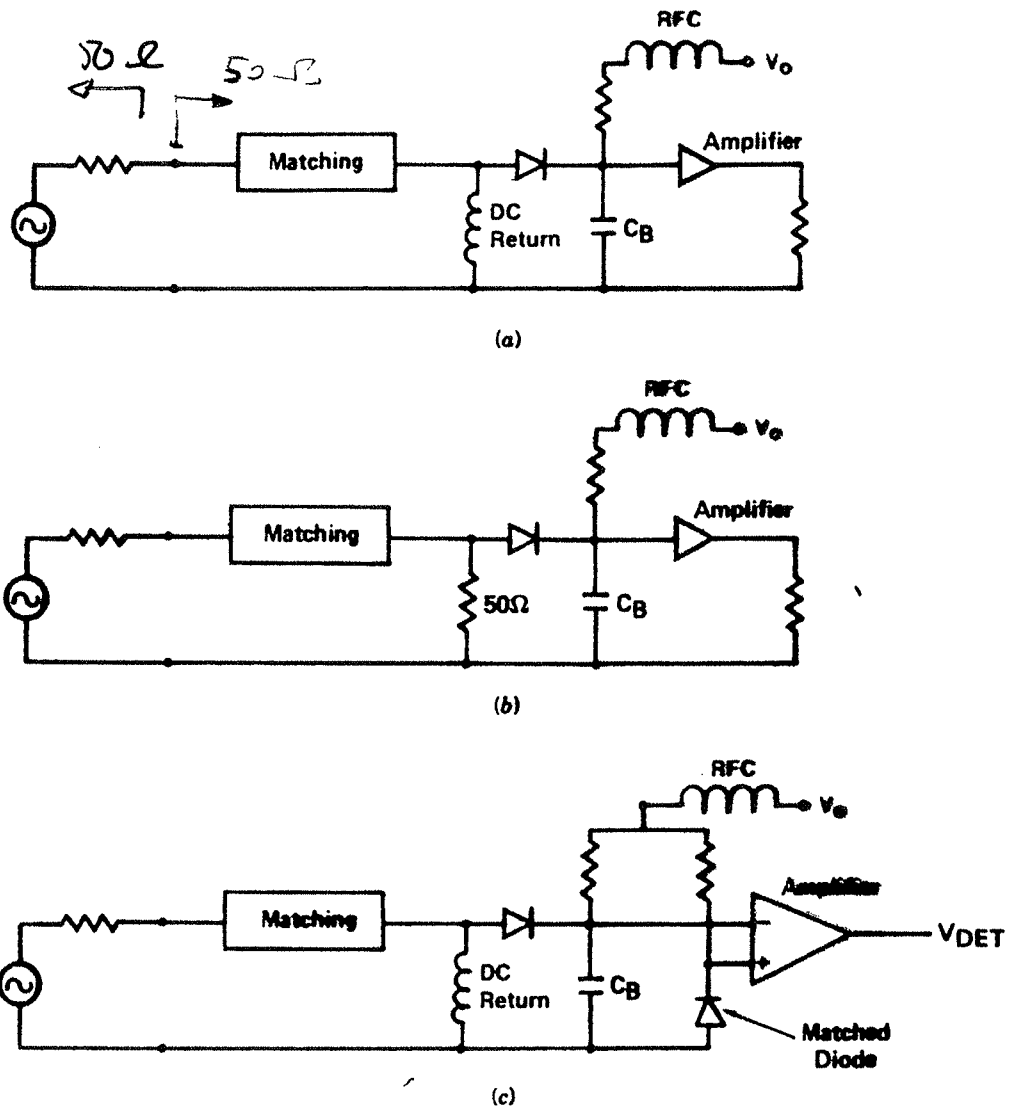


Figure 11.15 Detector types. (a) High-sensitivity detector. (b) Flat detector. (c) Temperature-compensated detector.

• Dispositivos Detectores

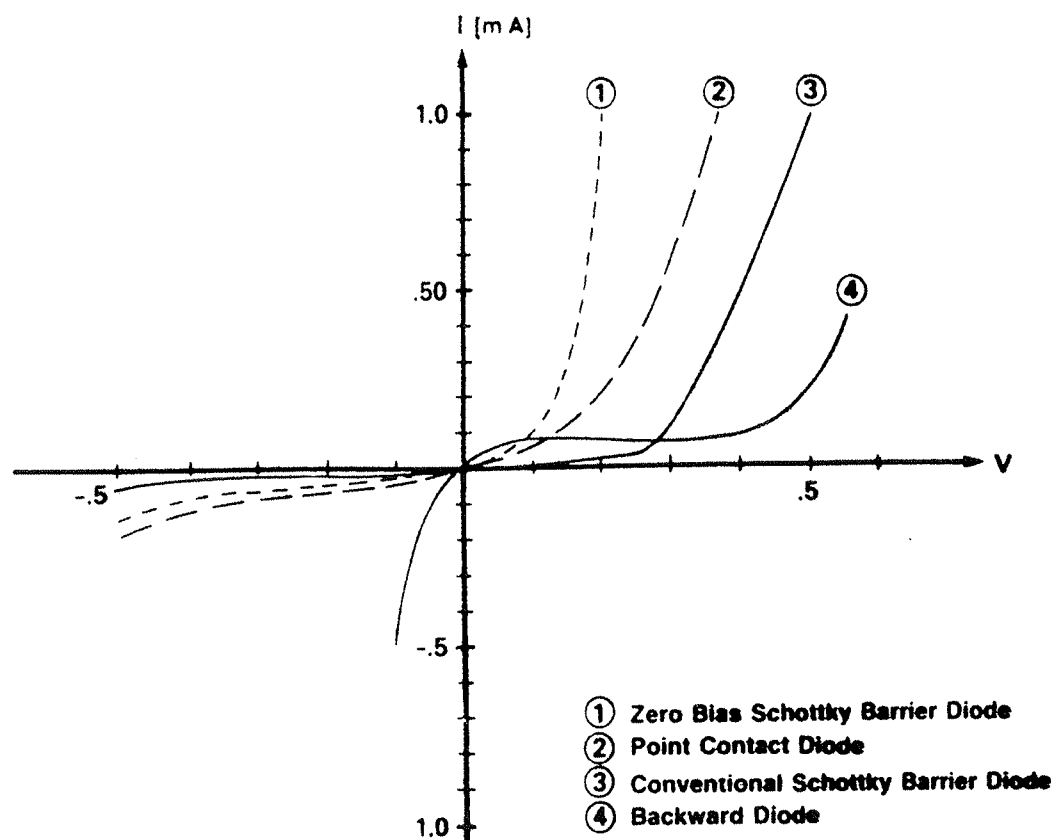


Figure 11.16 Comparison of diode types.

Eficiencia del Detector \Rightarrow Depende del grado de no-linealidad del Diodo.

- Diodo Schottky Convencional \Rightarrow Detector niveles \downarrow de señal.
Si niveles $\downarrow \Rightarrow$ necesidad polarizar
- Zero Bias Schottky \Rightarrow No necesita polarización, no linealidad en el origen.
- Diodo Backward = Diodo Tunel \Rightarrow Buen detector de bajos niveles

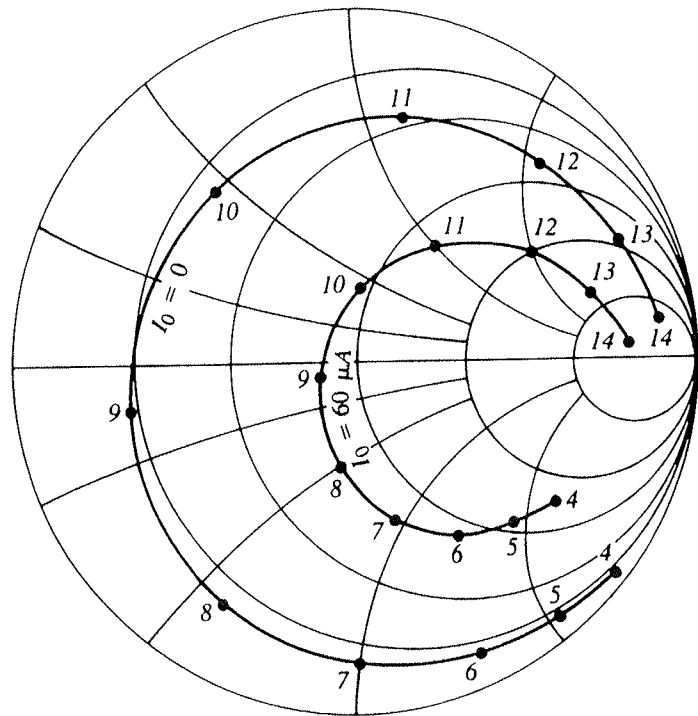


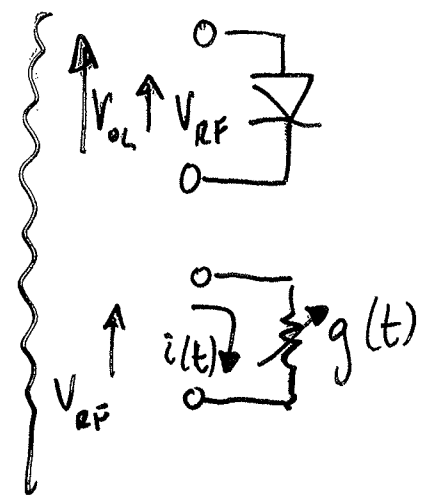
FIGURE 11.13 Impedance of the diode of Example 11.4 for two bias states, from 4 to 14 GHz.

Ejemplo: Mezclador_2.m

Diodo: $\alpha = 1/25 \text{ mV}$; $I_S = 1 \mu\text{A}$

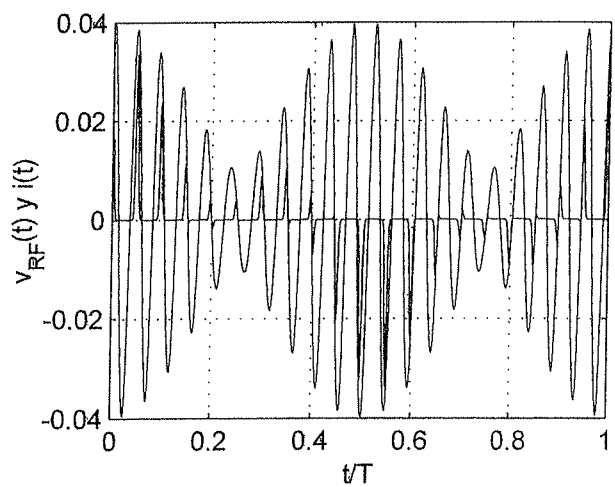
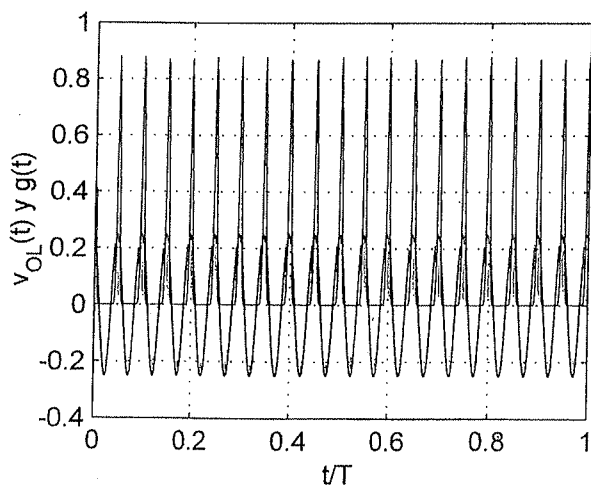
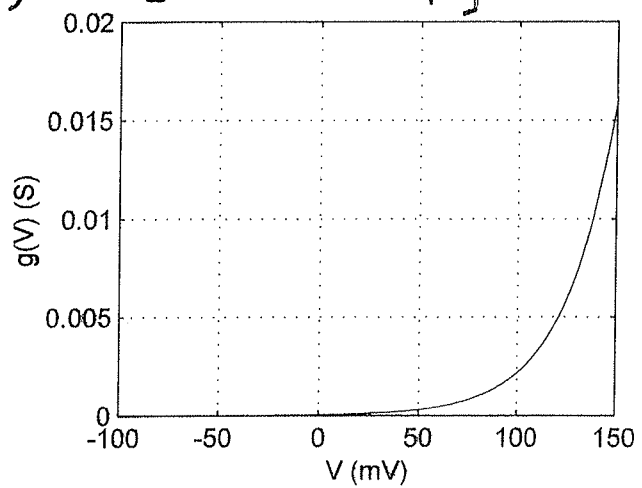
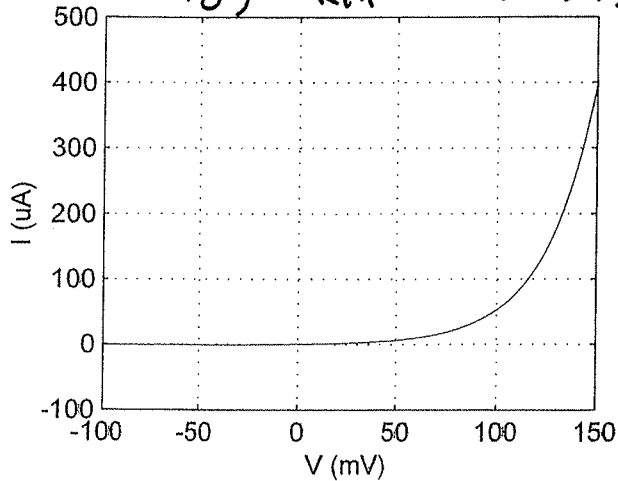
$$v_{OL}(t) = V_{OL} \cdot \cos[\omega_{OL} t + \pi/8]$$

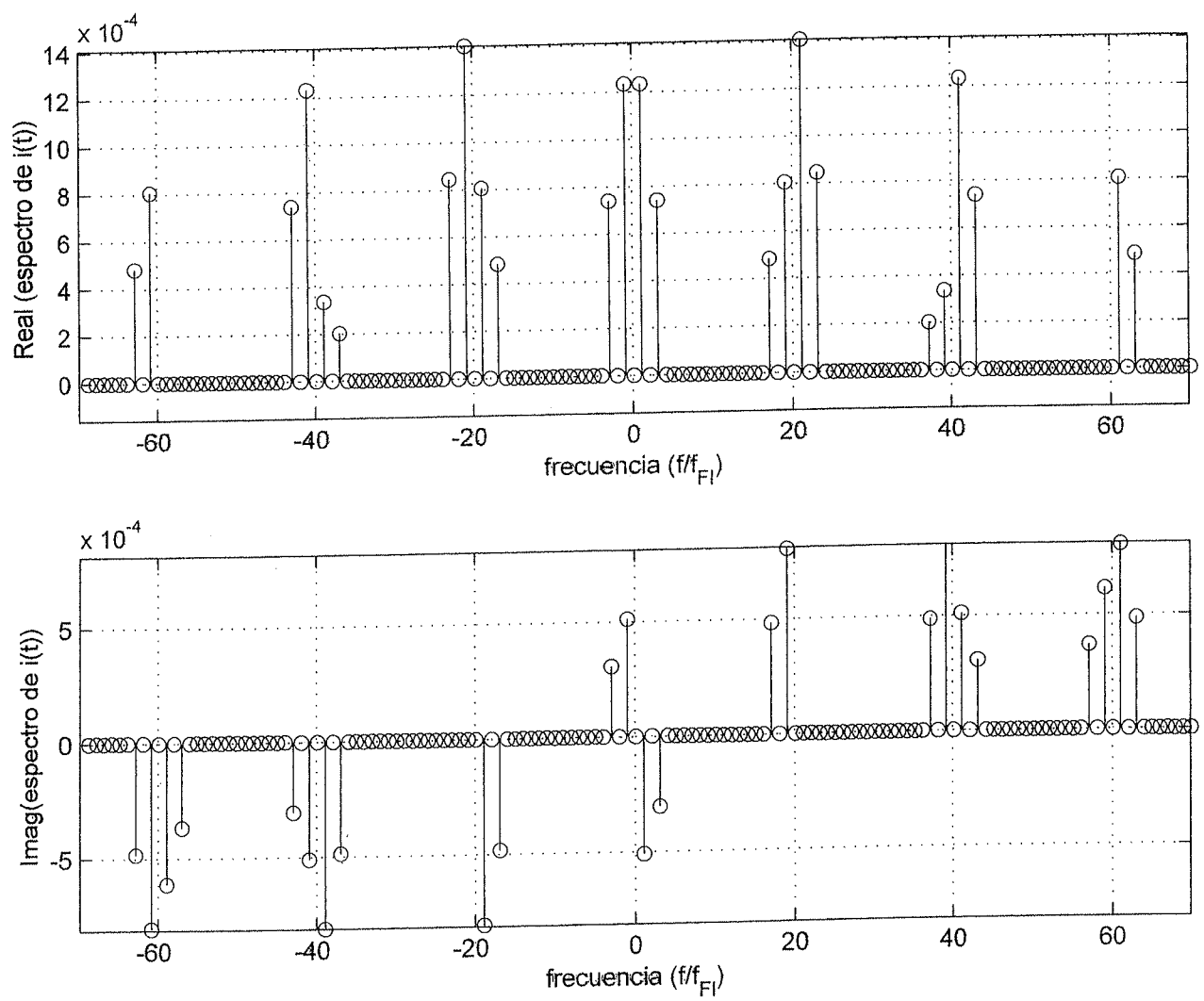
$$v_{RF}(t) = V_{RF1} \cos[\omega_{RF1} t] + V_{RF2} \cos[\omega_{RF2} t]$$



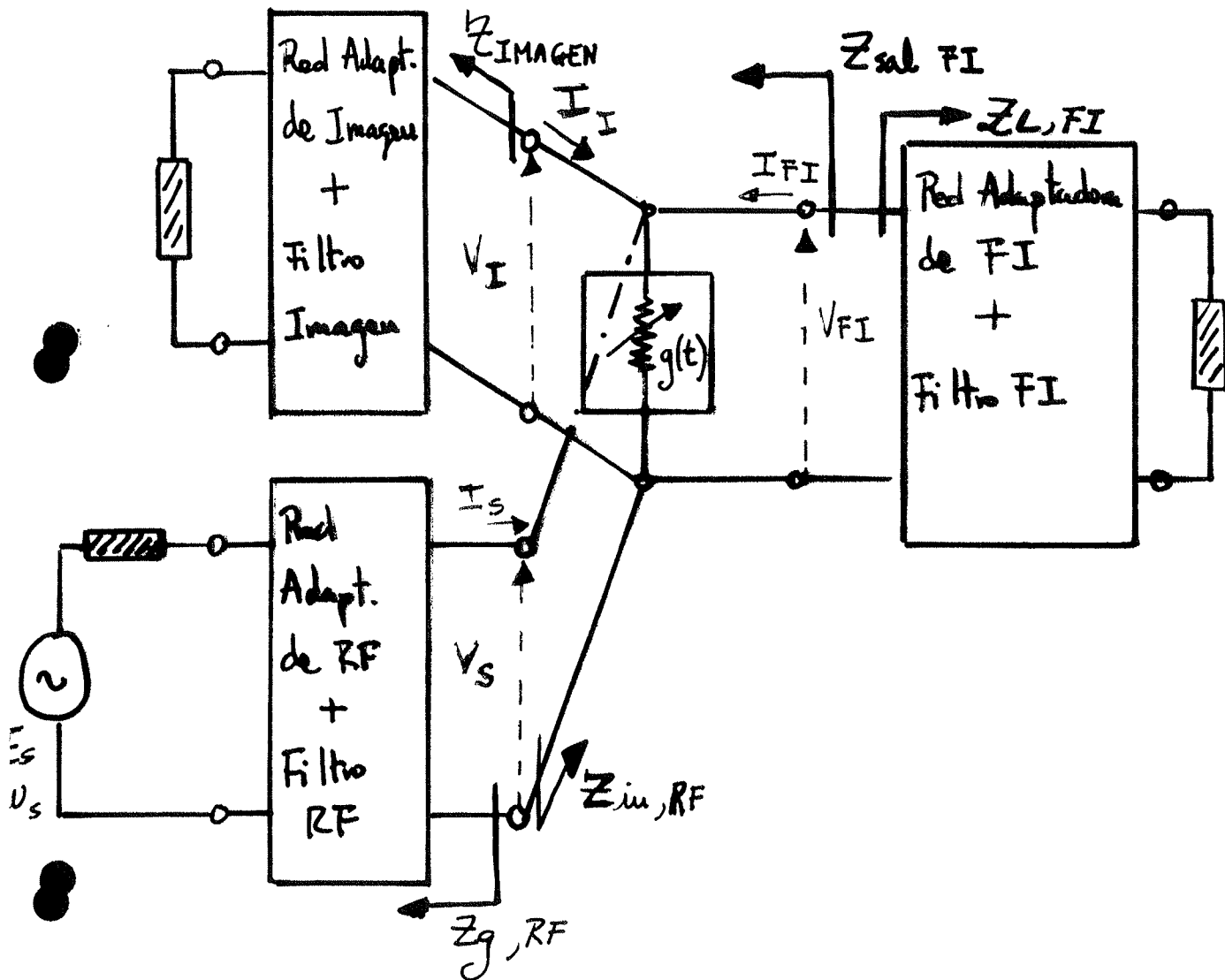
$$V_{OL} = 250 \text{ mV}; V_{RF1} = 25 \text{ mV}; V_{RF2} = 15 \text{ mV}$$

$$\omega_{OL} = 20 [2\pi/T]; \omega_{RF1} = 21 [2\pi/T]; \omega_{RF2} = 23 [2\pi/T]; T = 2\pi;$$

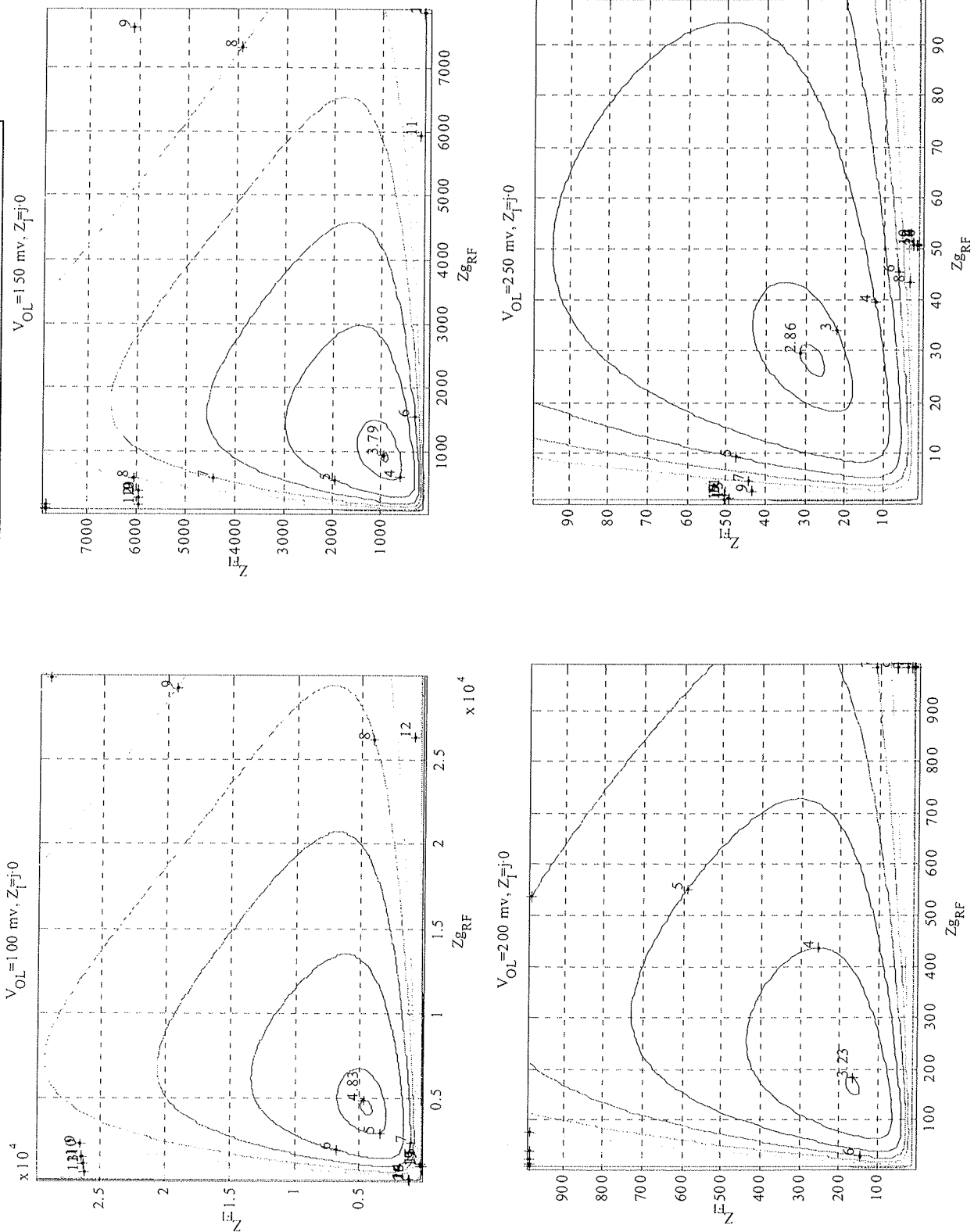




• Circuito equivalente de un mezclador.



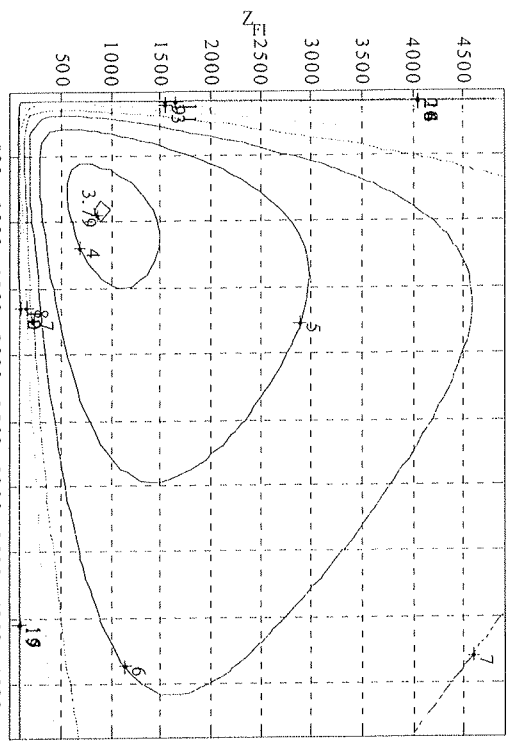
Evolución de las Pérdidas de Conversión ($Z_I = j \cdot 0$)



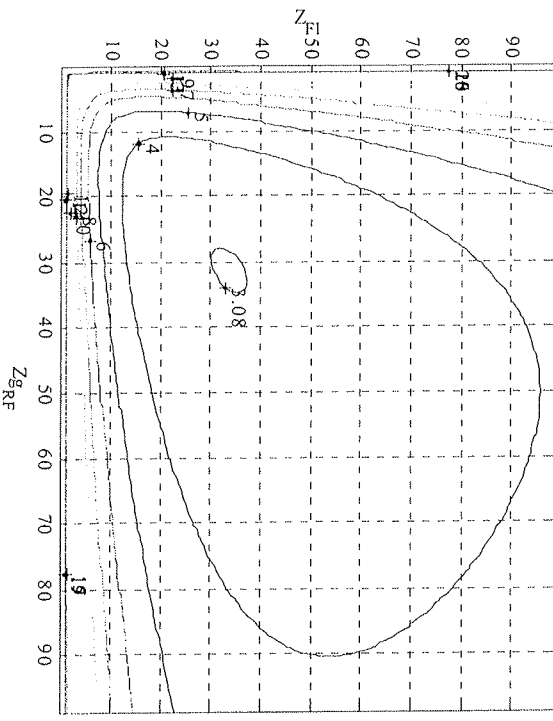
6 +

Evolución de las Pérdidas de Conversión ($Z_I=j\cdot 10$)

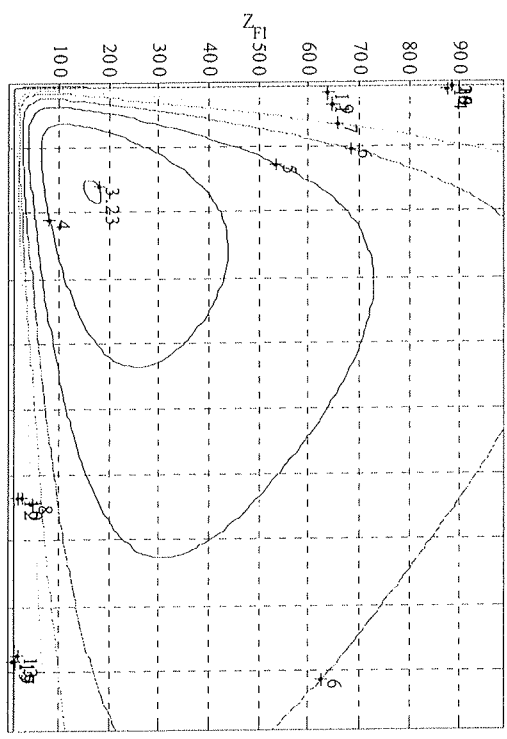
$V_{OL} = 150 \text{ mv}, Z_I=j\cdot 10$



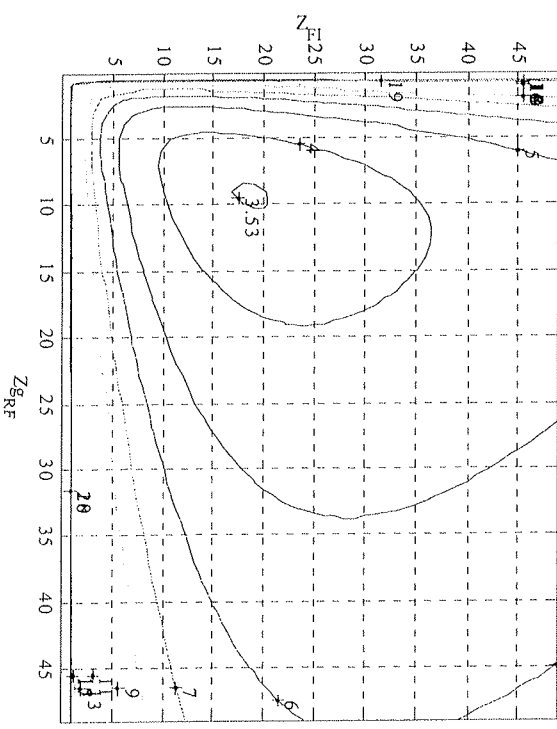
$V_{OL} = 250 \text{ mv}, Z_I=j\cdot 10$



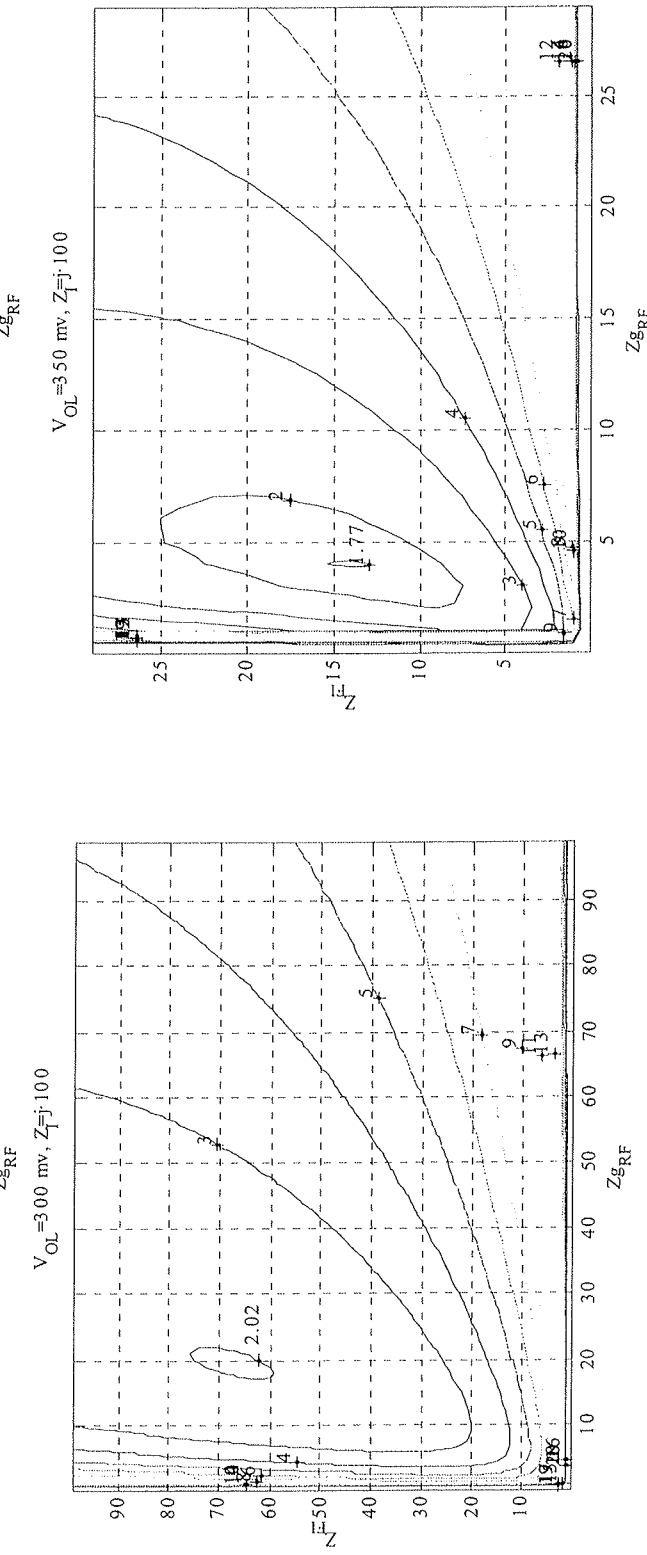
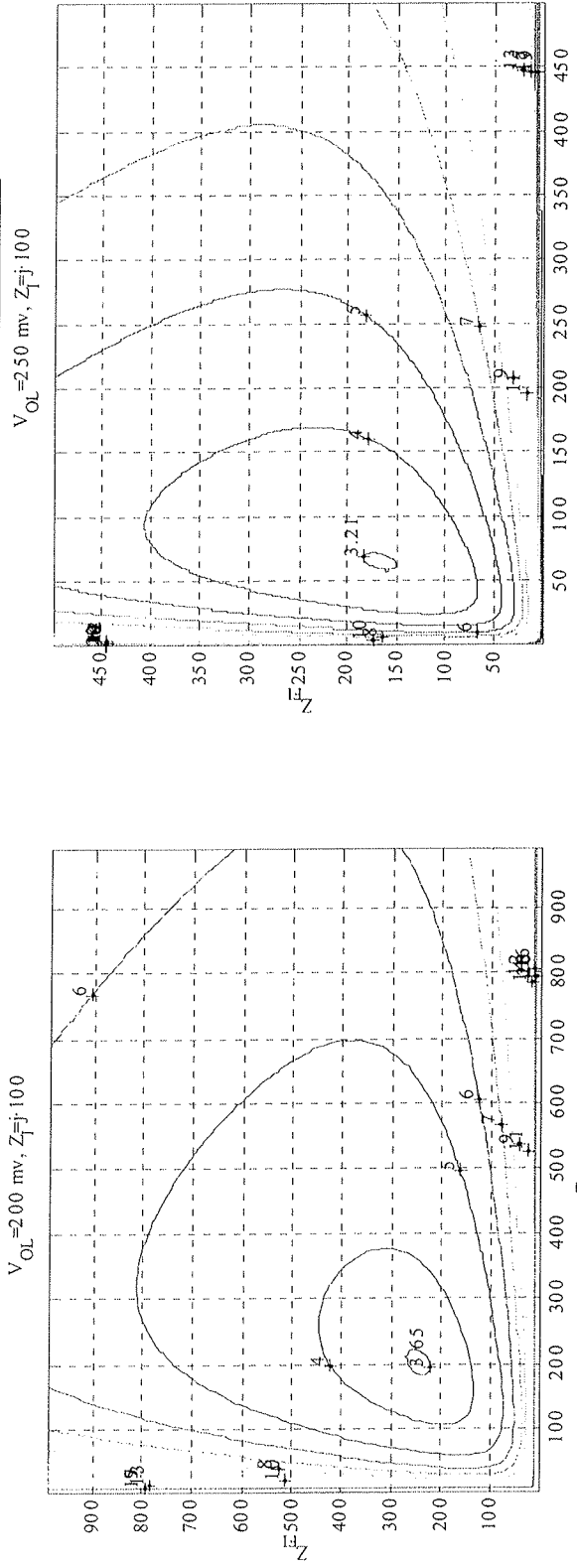
$V_{OL} = 200 \text{ mv}, Z_I=j\cdot 10$



$V_{OL} = 300 \text{ mv}, Z_I=j\cdot 10$

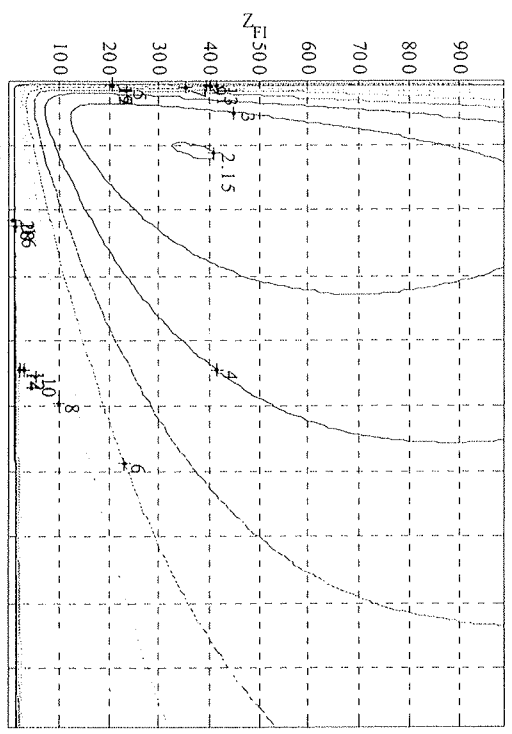


Evolución de las Pérdidas de Conversión ($Z_I=j \cdot 100$)

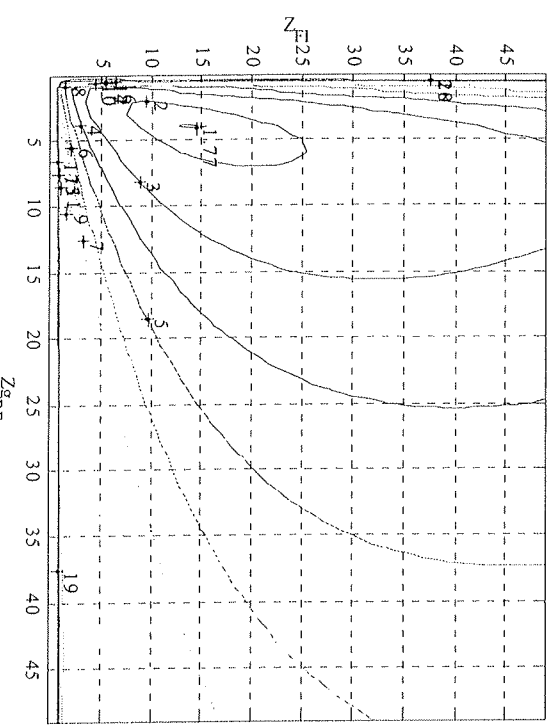


Evolución de las Pérdidas de Conversión ($Z_I=j \cdot 10^4$)

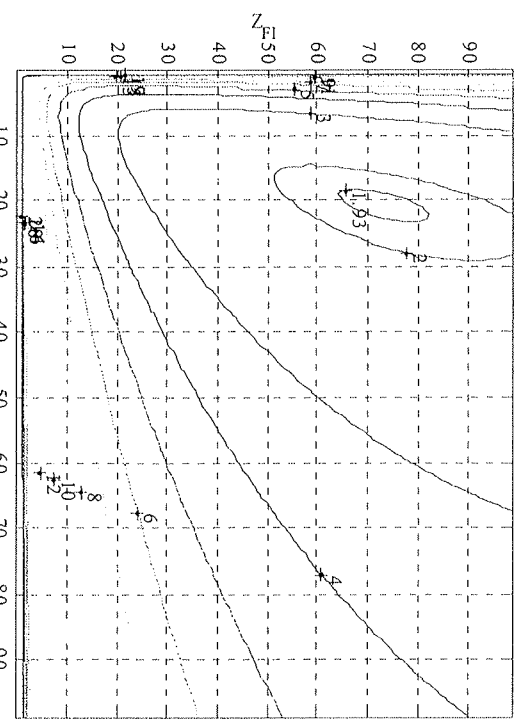
$V_{OL} = 250 \text{ mV}, Z_I=j \cdot 10^4$



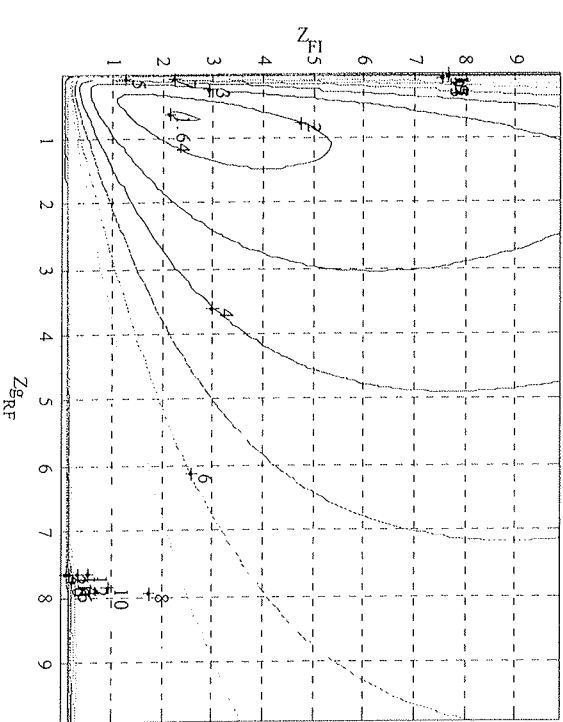
$V_{OL} = 350 \text{ mV}, Z_I=j \cdot 10^4$



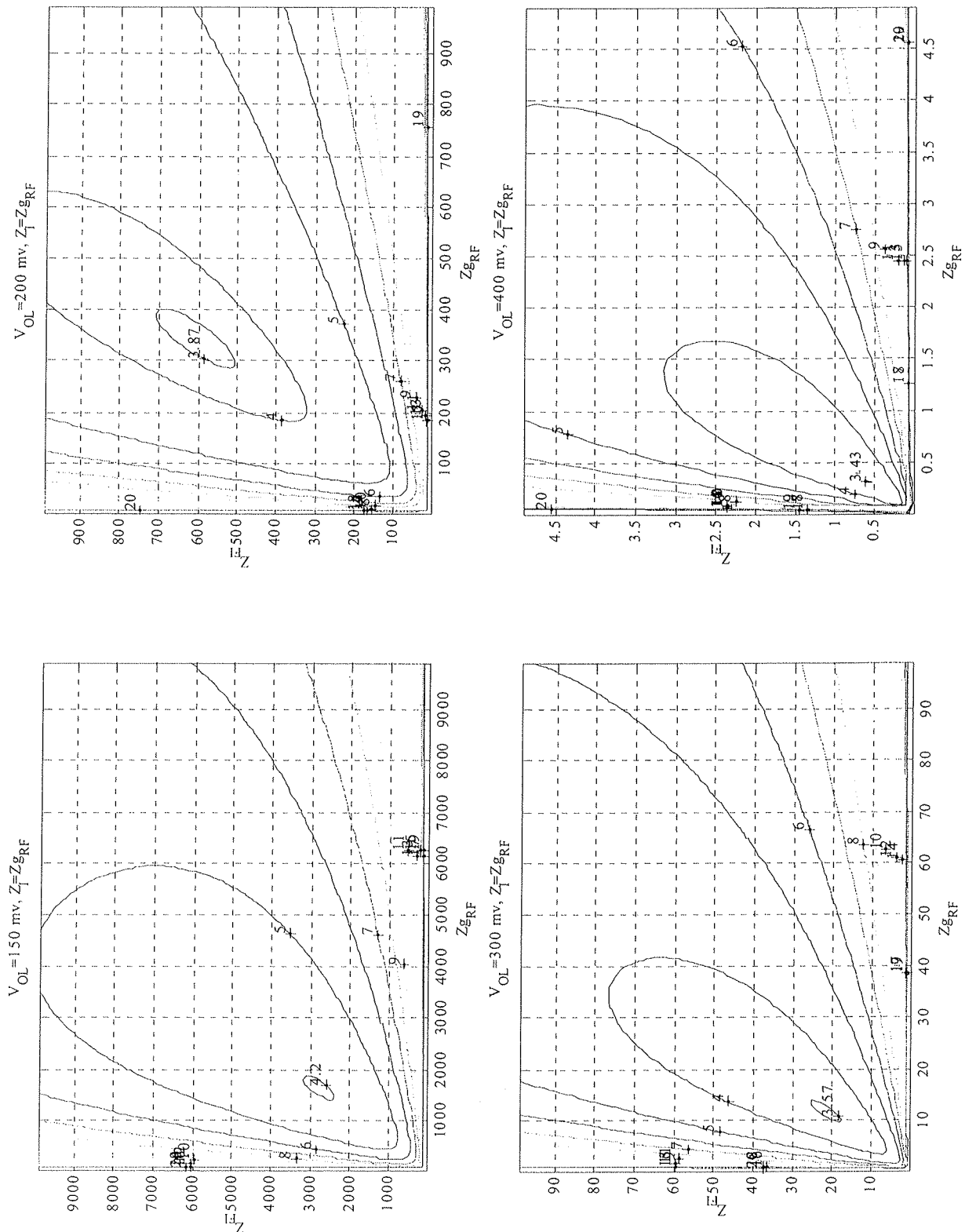
$V_{OL} = 300 \text{ mV}, Z_I=j \cdot 10^4$



$V_{OL} = 400 \text{ mV}, Z_I=j \cdot 10^4$



Evolución de las Pérdidas de Conversión ($Z_I = Z_{g_{RF}}$)



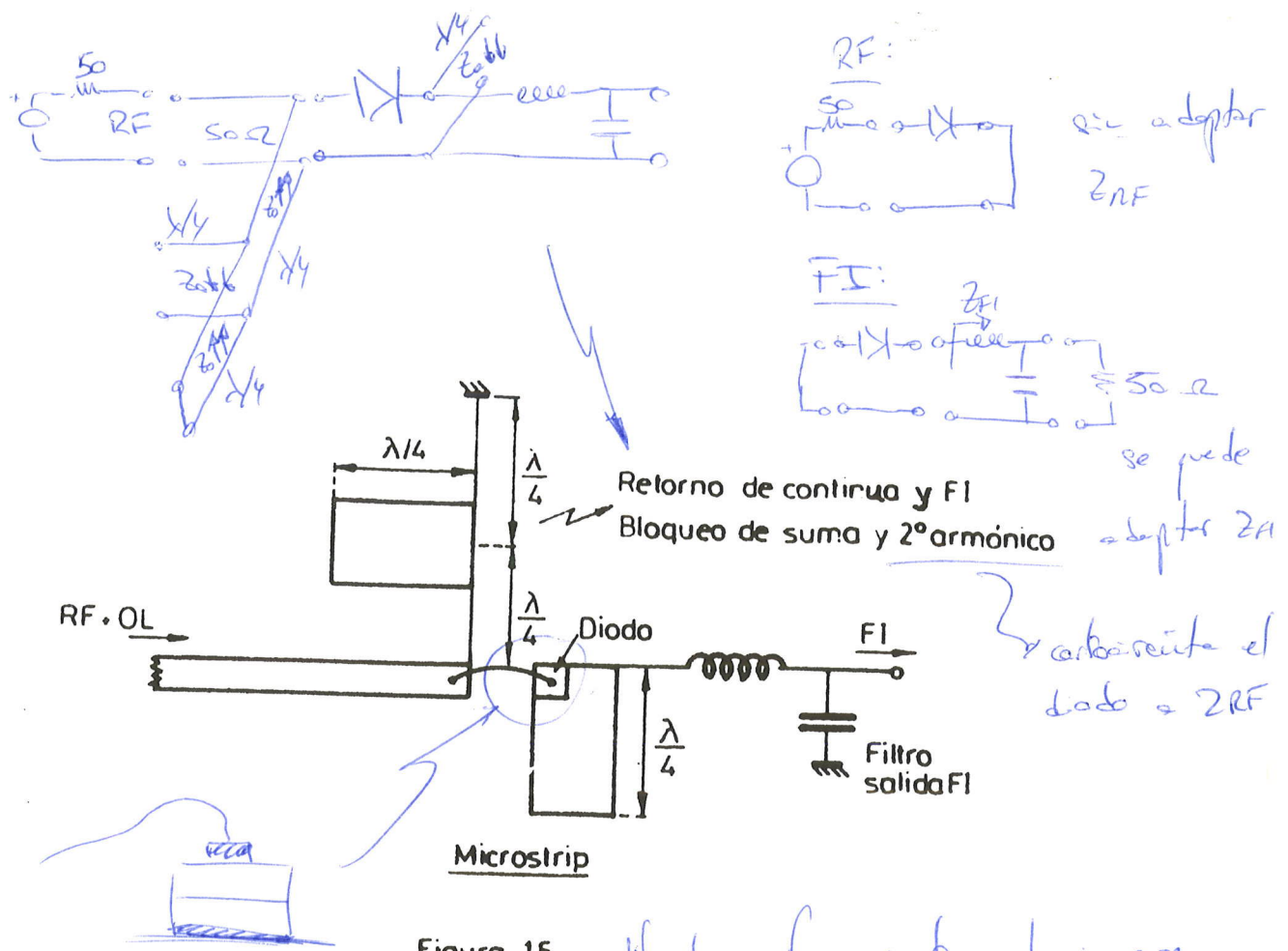
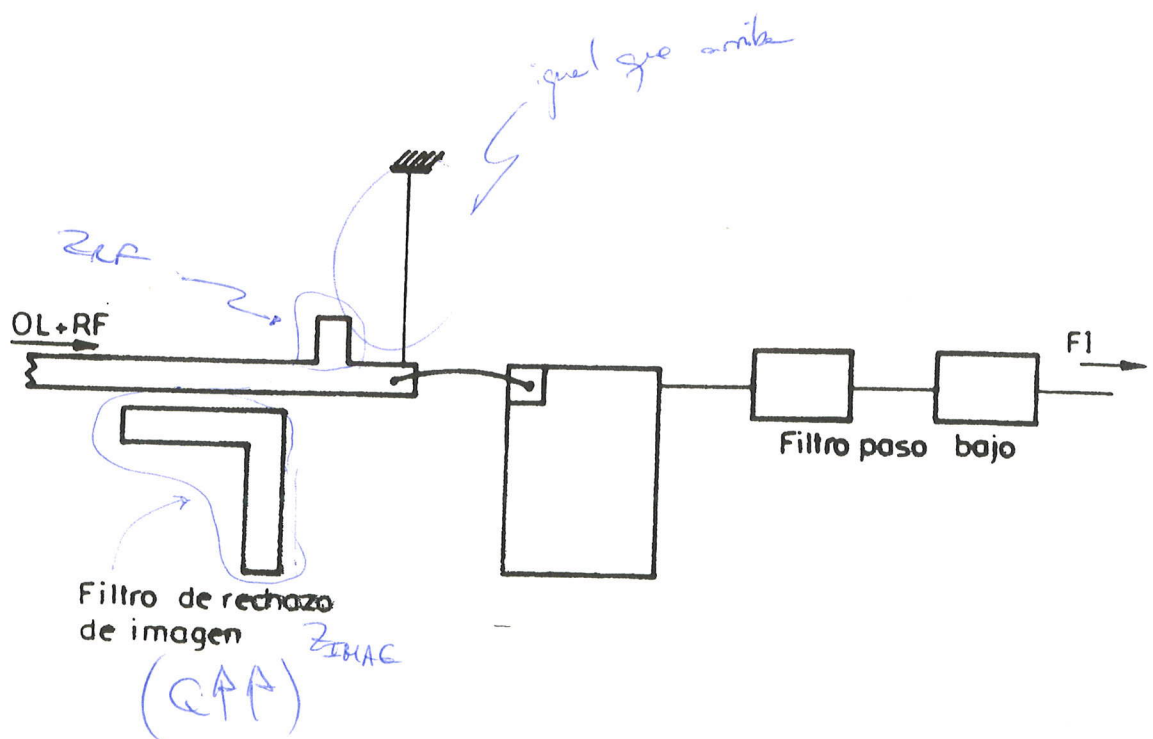
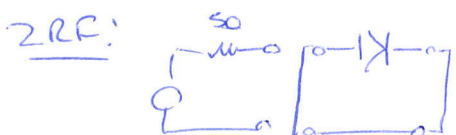
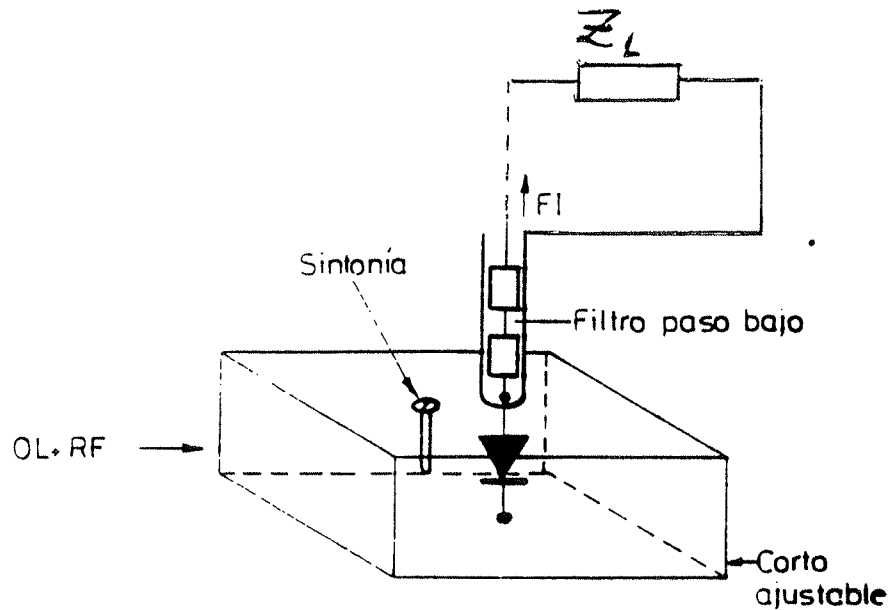
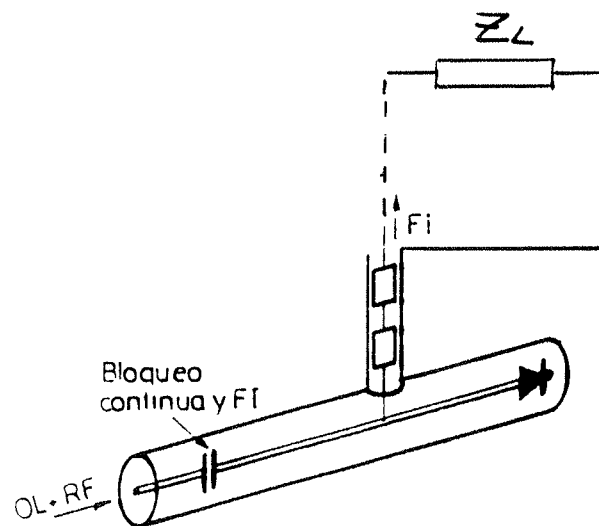


Figura 15 No hay reforzamiento de imagen





Guía



Coaxial

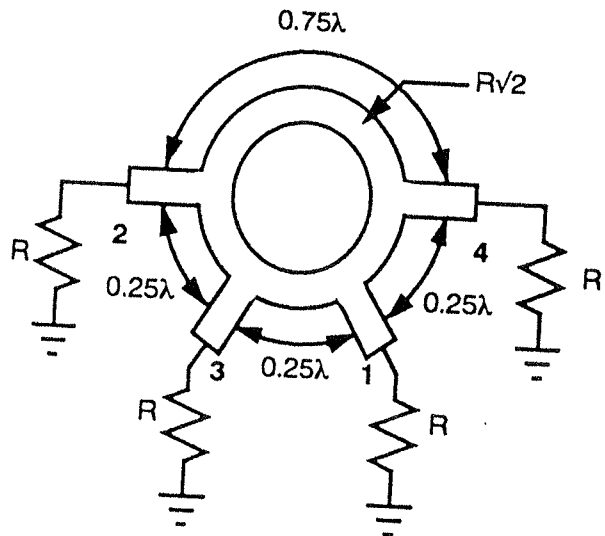


Figure 7.5 The ring hybrid. The figure shows a top view of a microstrip realization. The straight lines between the ring and terminations are interconnections and may have arbitrary length.

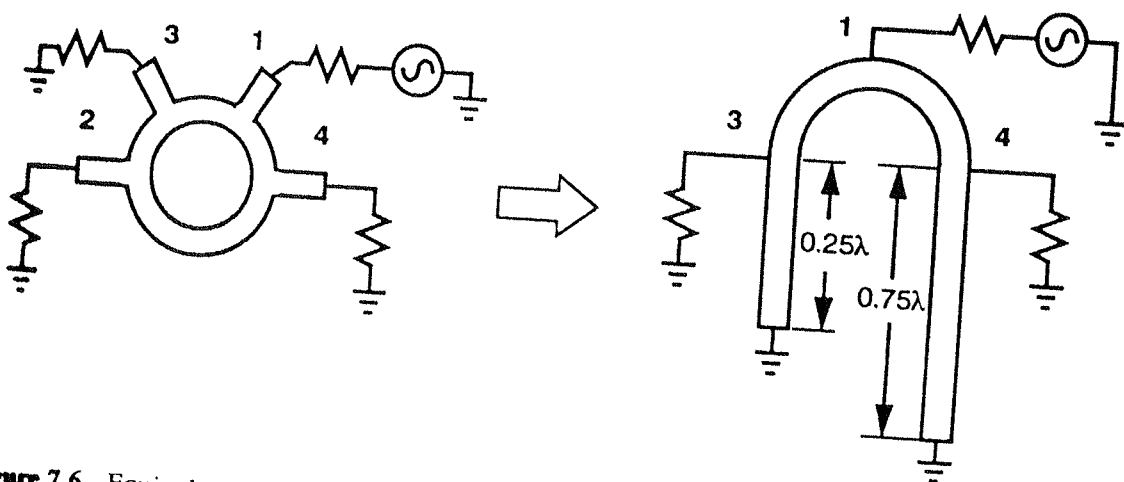


Figure 7.6 Equivalent circuit of the ring hybrid when port 1 is excited. Port 2 is a virtual ground, and the input power is divided between ports 3 and 4. Essentially the same equivalent circuit is valid if port 3 is excited. If port 2 or 4 is excited, the equivalent circuit is also similar; the only difference is that both stubs are 0.25λ and one of the paths from the excitation point to a load is 0.75λ .

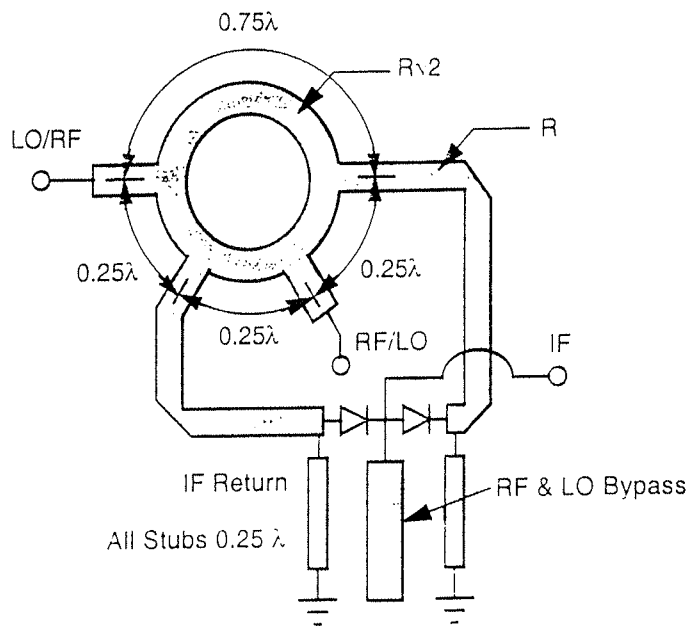


Figure 3.2 The rat-race mixer. R is the port impedance of the hybrid, usually 50Ω . The lines from the ring to the diodes must be equal in length. The stubs are 0.25λ at the center of the RF/LO band.

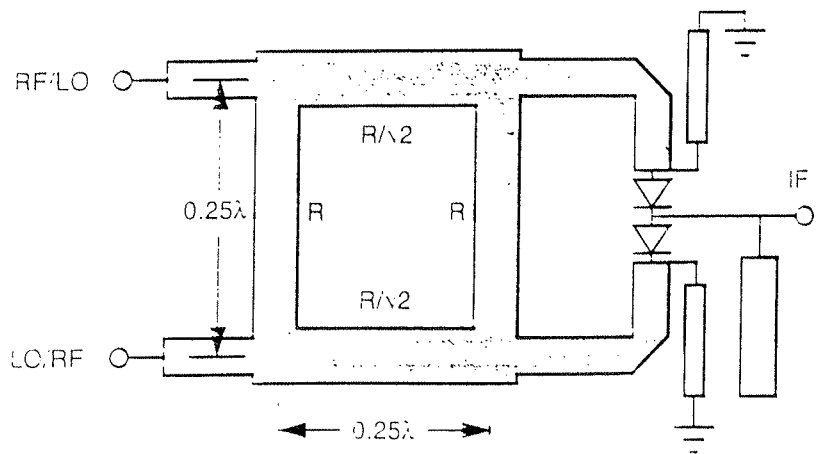
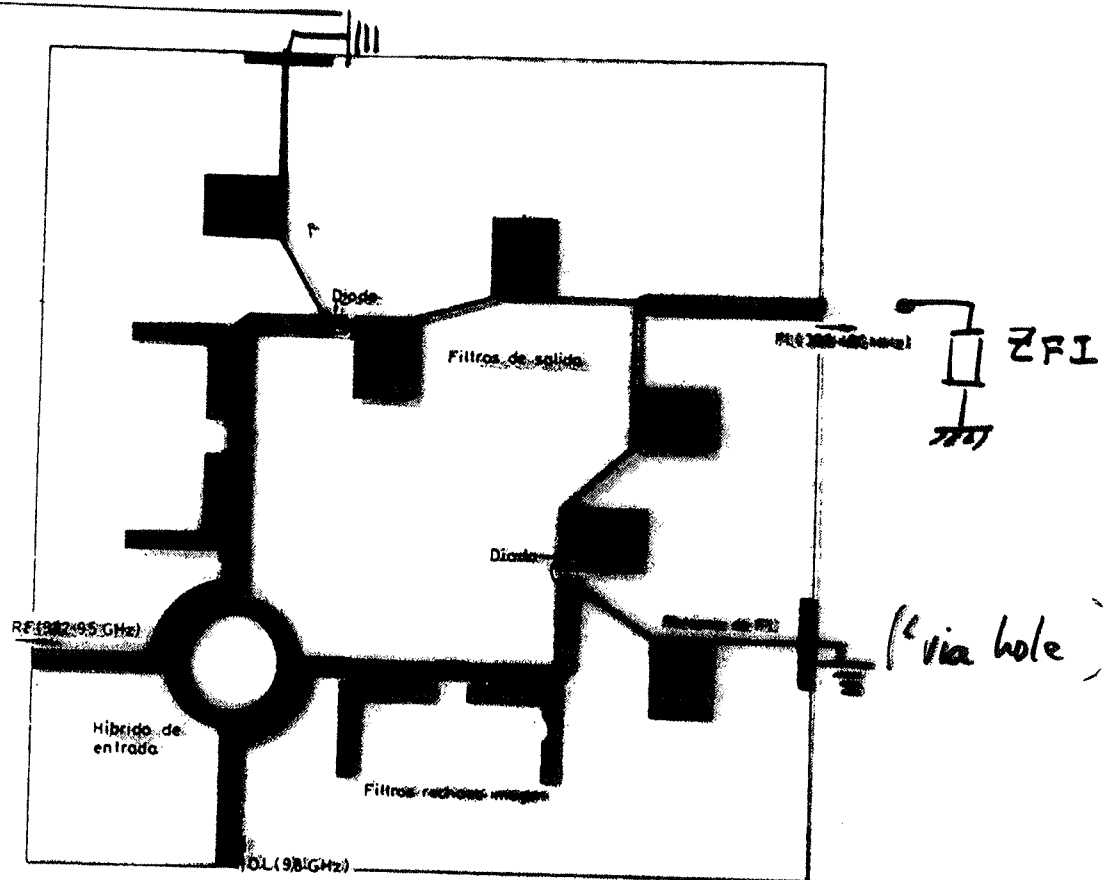


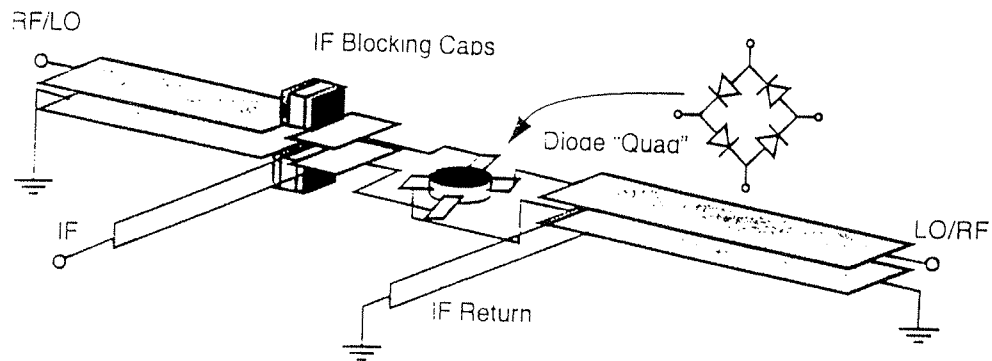
Figure 3.5 A 90-degree singly balanced mixer. The design and characteristics are similar to those of the rat-race mixer.

* Mezclador Balanceado

Sustrato
 $\epsilon_r = 9.8$

Escala:
4:1





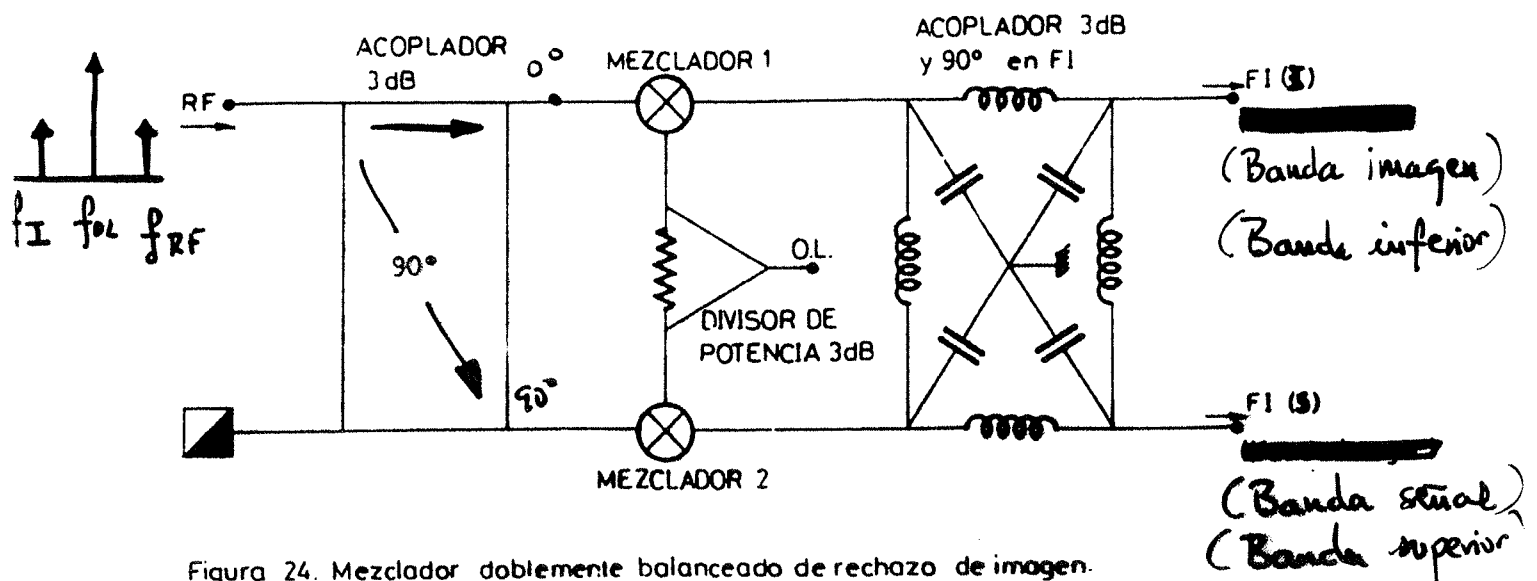


Figura 24. Mezclador doblemente balanceado de rechazo de imagen.

$M_x 1$ y $M_x 2 \rightarrow M_x's$ simplemente balanceados